

### 6 Mehrdimensionales Packen

Algorithmen und Datenstrukturen 2 Sommer 2024

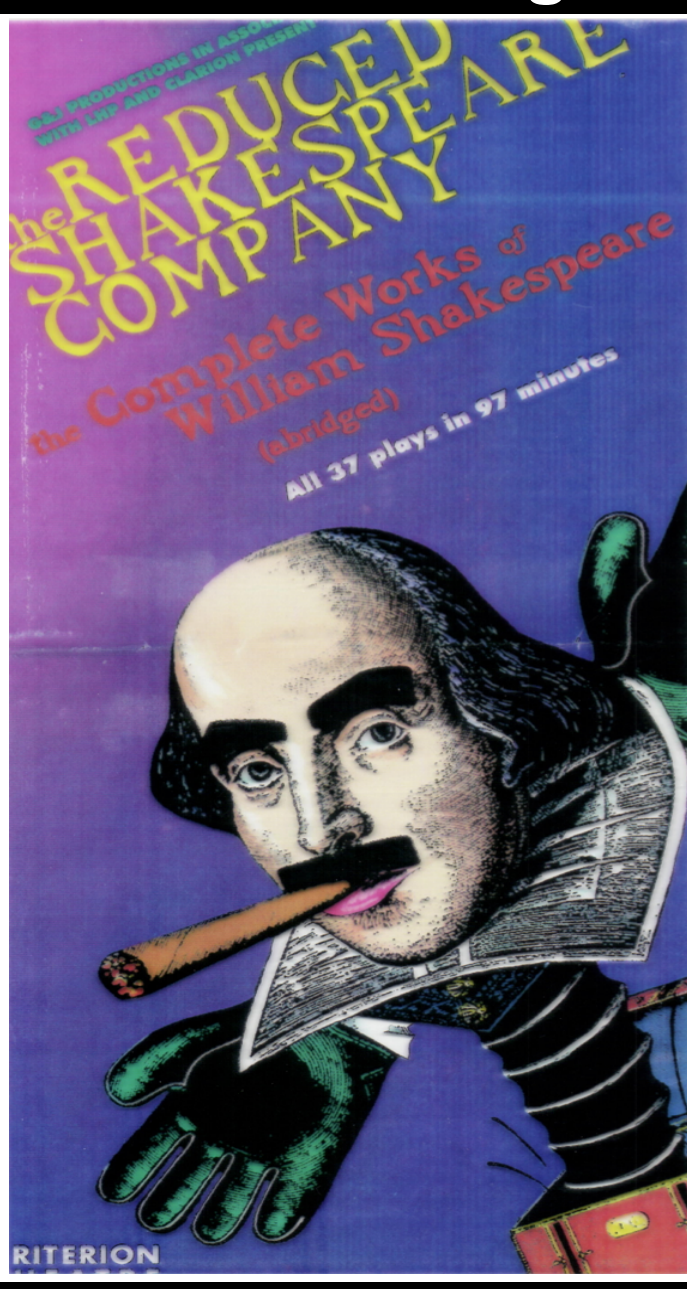
Prof. Dr. Sándor Fekete

# Autos, Quader, Rechtecke

# Reisezeit!



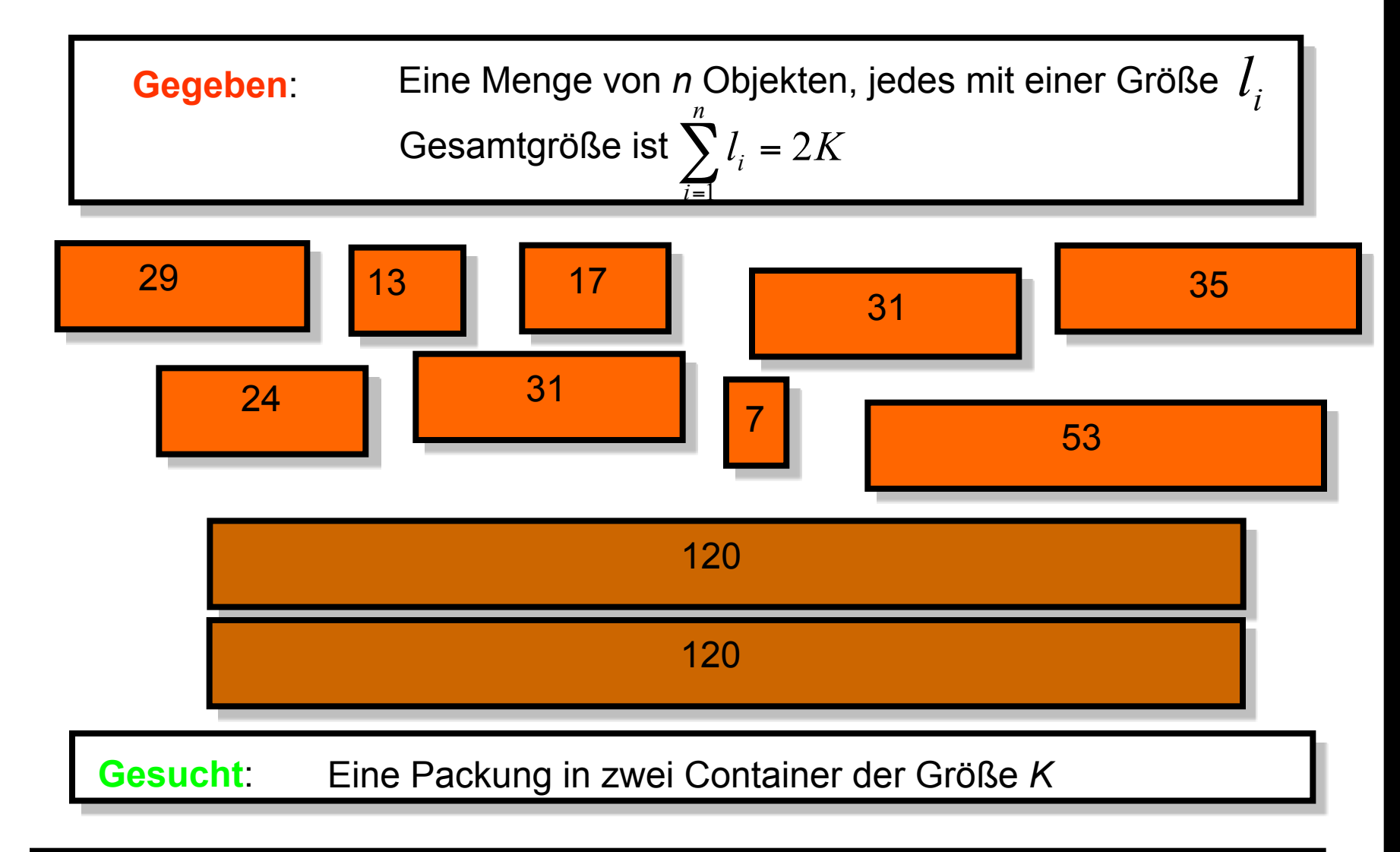
# Wieviel passt in eine Vorlesung?



# Wieviel passt in einen Kofferraum?



### Kofferpacken für die Reise



Karp (1972): Das Finden einer optimalen Partition ist NP-vollständig.

# Packen und Presse(n)

# BRAUNSCHWEIGER

WOLFENBÜTTELER ZEITUNG UND ANZEIGER

Samstag, 28. Januar 2006

unabhängig · nicht parteigebunden

Nr. 24 · 61. Jahrgang · 1,20 €

### Wenn Mathematiker Autos beladen

TU-Professor Sándor Fekete tüftelt an ganz handfesten Alltagsproblemen, kombiniert und optimiert

Von Cornelia Steiner

Sieben große Probleme müssen Maeine Million Dollar Preisgeld sind von ihnen versteht man selbst die Fragestellung erst nach einigen matische Optimierung an der TU zum Wunschort kommt", sagt er. Braunschweig. Er hat auch nicht den Anspruch, eines dieser abstrak- denn es gibt einfache und schwere ten Probleme zu lösen. Stattdessen Probleme: Einfach ist es, den kürwidmet er sich mit Kollegen und zesten Weg zwischen zwei Punkten Studenten den handfesten Fragen zu berechnen. Einfach ist es auch, des alltäglichen Lebens. Denn Ma- die schnellste Verbindung in einem

thematik hat eben doch etwas mit dem Hier und Jetzt "Spannend wird zu tun: mit Roudas Lösen von Optitenplanung zum mierungsproblemen Beispiel, mit dem Packen eines Kofdadurch, dass man ferraumes oder sooft nicht alle gar mit Rasenmä-Informationen zur hen. All das sind Probleme, bei de-Verfügung hat." nen es darum geht, aus einer bestimm-Sándor Fekete ten Menge möglicher Kombinationen die beste Lö-

sung zu finden.

sowohl den kürzesten Weg von Besatzung, Strecken, Anzahl der

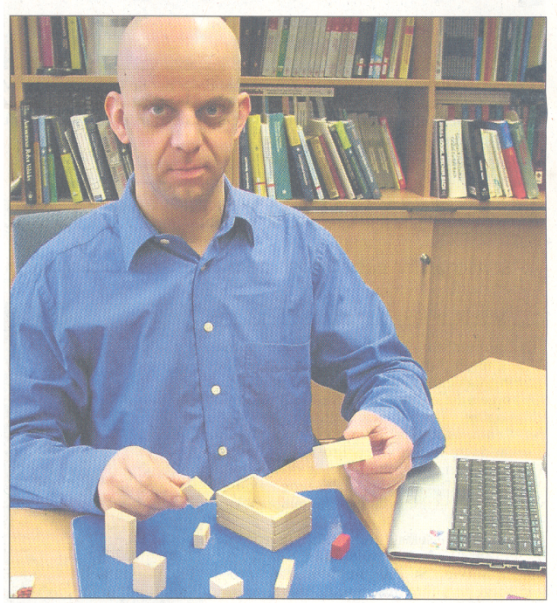
dar. In unserem Fall wären die Knoten Kreuzungen und die Verbindungen Wege. Bevor gerechnet wird, thematiker weltweit lösen, jeweils muss der Umfang des Graphen allerdings einschränkt werden: Für die dafür ausgeschrieben. Bei manchen Fahrt nach Peine ist schließlich das Umfeld von Helmstedt uninteressant. "Wenn so eine Struktur vor-Fachsemestern. Das gesteht sogar handen ist, kann man sehr gut er-Sándor Fekete, Professor für mathe- mitteln, wie man am schnellsten

Doch alles hat auch seine Tücken,

Fahrplan zu finden, oder die billigste Flugverbindung zu ermitteln.

Schwierig wird das Ganze aber, sobald mehrere Wegeprobleme ineinander greifen: Das ist der Fall, wenn der kürzeste Weg über mehrere Punkte in unbestimmter Reihenfolge berechnet wird. Wer also eine schnelle Rundreise

durch alle Braunschweiger Kneipen In jedem Fall gilt: "Man braucht plant, sollte wissen, wie das funktioimmer einen Algorithmus, der unabniert. Kompliziert ist es auch, einen hängig vom Einzelfall eine systema- guten Bahnfahrplan zu erstellen, tische Lösung anbietet", sagt Fekete. oder Flugpläne. Denn dann müssen Für die Routenplanung bedeutet zusätzliche Aspekte beachtet werdas: Ein einziger Algorithmus liefert den - Art der Flugzeuge, Größe der



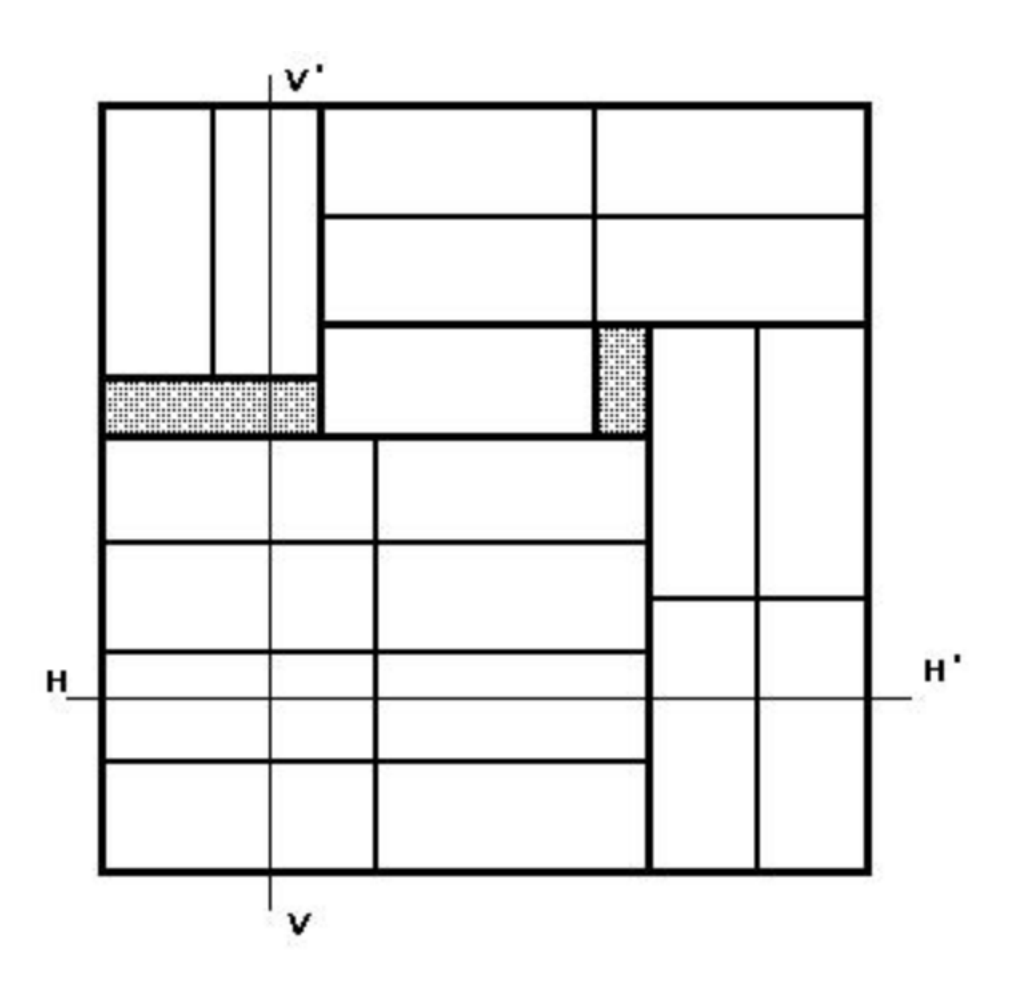
Professor Sándor Fekete zeigt auf einfache Weise die Probleme, die sich beim Packen und Beladen eines Kofferraumes ergeben können. Fotos (2): Steiner

nicht alle wichtigen Informationen sich mit modernen Computersyste-

zur Verfügung hat", sagt er. So ist men und großen Kommunikationszum Beispiel ungewiss, ob ein Stau netzen beschäftigen, aber auch mit









Next: Numerical List of All

### **The Open Problems Project**

edited by **Erik D. Demaine** 

Joseph S. B. Mitchell

Joseph O'Rourke

### Introduction

This is the beginning of a project to record open problems of interest to researchers in computational geometry and related fields. It commenced with the publication of thirty problems in Computational Geometry Column 42 [MO01] (see Problems 1-30), but has grown much beyond that. We encourage correspondence to improve the entries; please send email to topp@csail.mit.edu. If you would like to submit a new problem, please fill out this template.

Each problem is assigned a unique number for citation purposes. Problem numbers also indicate the order in which the problems were entered. Each problem is classified as belonging to one or more categories.

The problems are also available as a single **Postscript** or **PDF** file.

To begin navigating through the open problems, you may select from a category of interest below, or view a list of all problems sorted numerically.



Next: Problem 56: Packing Unit Up: The Open Problems Project Previous: Problem 54: Traveling Salesman

### **Problem 55: Pallet Loading**

#### Statement

What is the complexity of the pallet loading problem? Given two pairs of numbers, (A, B) and (a, b), and a number n, decide whether n small rectangles of size  $a \times b$ , in either axis-parallel orientation, can be packed into a large rectangle of size  $A \times B$ .

This problem is not even known to be in NP, because of the compact input description, and the possibly complicated structure of a packing, if there is one.

#### Origin

Uncertain, pending investigation.

#### Status/Conjectures

Open.

#### Motivation

Natural packing problem; first-rate example of the relevance of coding input and output.

#### **Partial and Related Results**

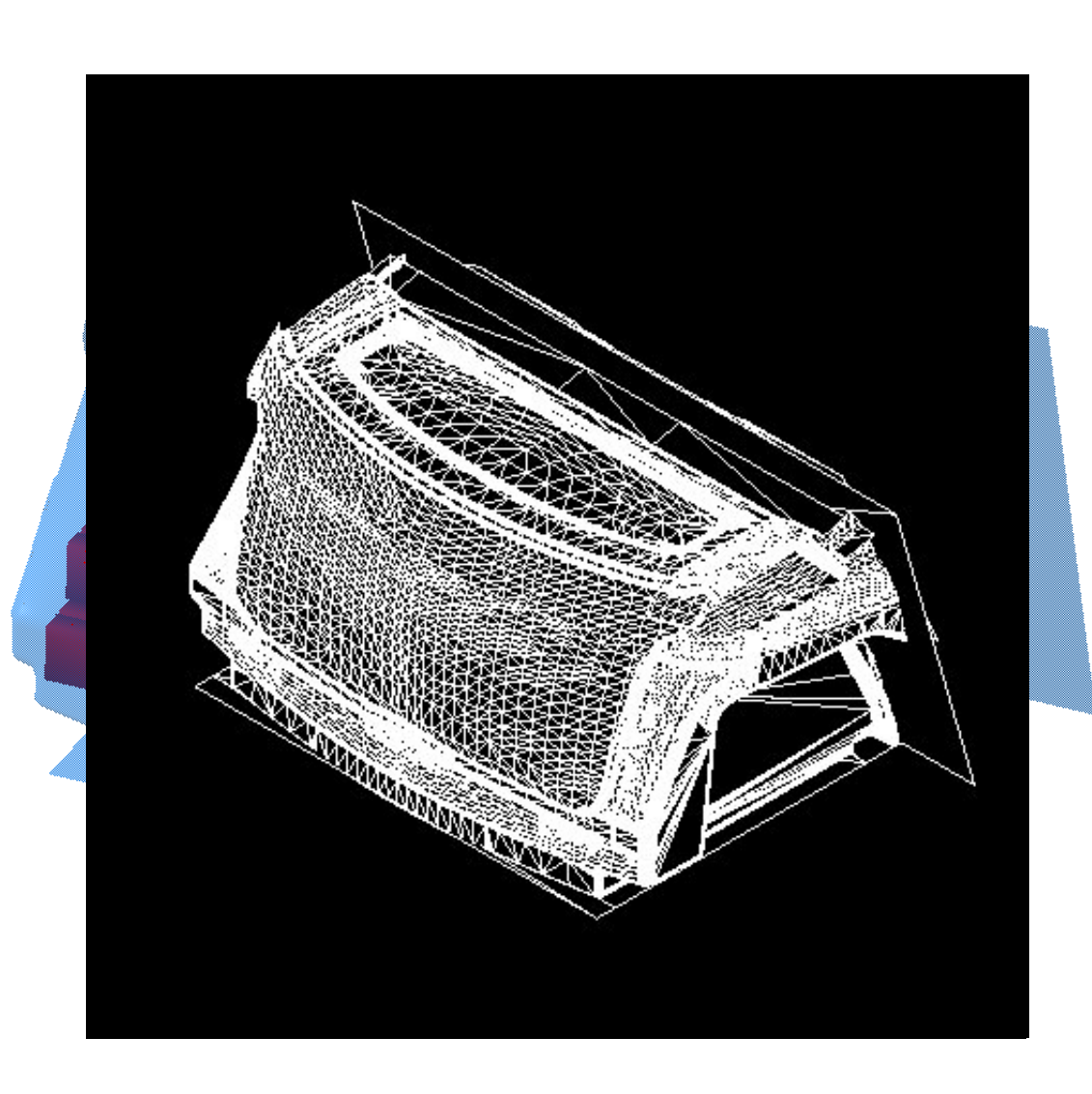
Tarnowsky [Tar92] showed that the problem can be solved in time polynomial in the size of the input if we are restricted to "guillotine" patterns, i.e., arrangements of items that can be obtained by a recursive sequence of edge-to-edge cuts. This result uses some nontrivial algebraic methods.

#### **Related Open Problems**

What is the complexity of packing a maximal number of unit squares in a simple polygon? (Problem 54)

#### **Appearances**

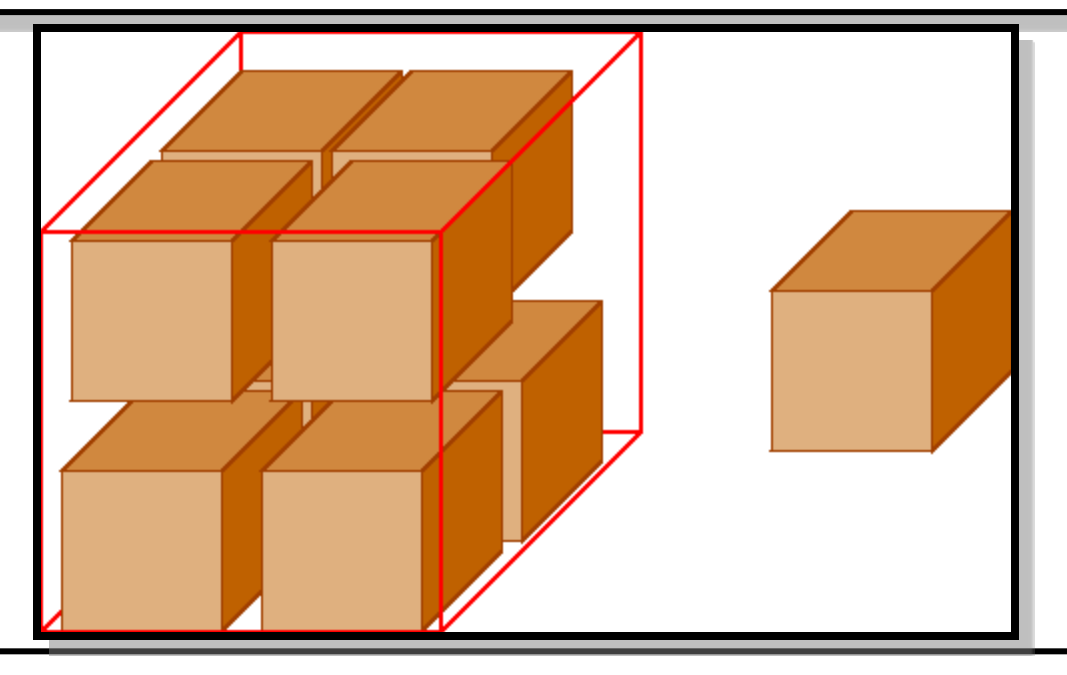
[Dow87] claims the problem to be NP-hard; [Exe88] claims the problem to be in NP; but both claims are erroneous. The precise nature of the difficulty is stated in



### **Mathematische Methoden**

### Ein einfaches Beispiel

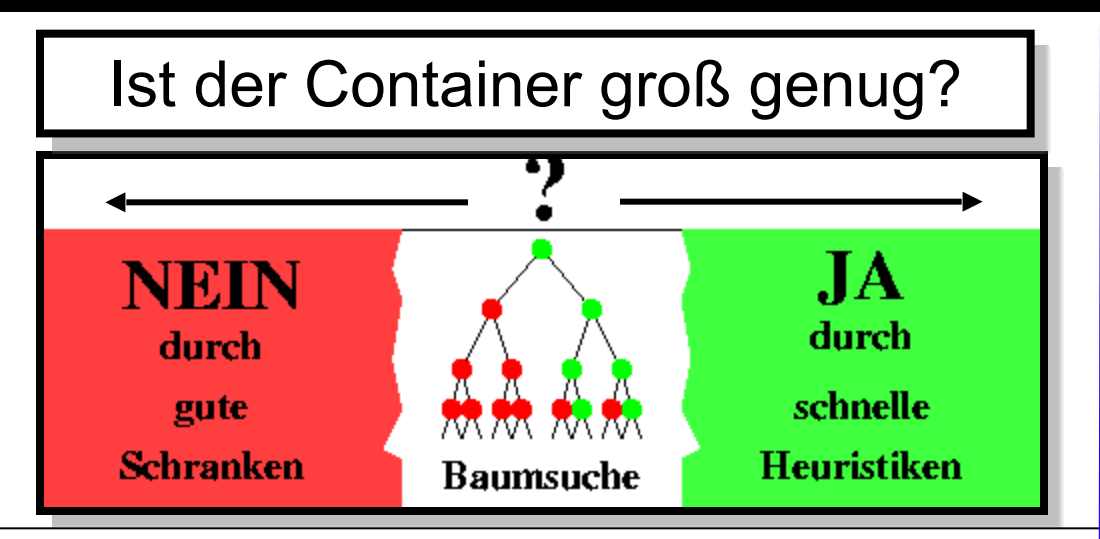
Gegeben: 9 Würfel der Kantenlänge 0.4



Frage: Passen die Würfel in einen würfelförmigen Container der Kantenlänge 1?

"Geht Volumen:  $9*0.4^3 = 0.576$  ?"

### Lösen schwerer Packungsprobleme



#### New classes of fast lower bounds for bin packing problems

SP Fekete... - Mathematical programming, 2001 - Springer ...  $xi \in T$   $xi \in S$   $xi \in S$  xi

#### A general framework for bounds for higher-dimensional orthogonal packing problems

SP Fekete... - Mathematical Methods of Operations Research, 2004 - Springer
... Sa"ndor P. Fekete1, JoØrg Schepersy,2 1 Department of Mathematical Optimization,
Braunschweig University of Technology, D–38106 Braunschweig, Germany (email:
s.fekete@tu-bs.de) 2 IBM Germany Gustav-Heinemann-Ufer, 120/122 D–50968, KoØln, Germany (...
Cited by 48 - Related articles - BL Direct - All 5 versions - Import into BibTeX

#### A combinatorial characterization of higher-dimensional orthogonal packing

SP Fekete... - Mathematics of Operations Research, 2004 - JSTOR
... Saindor P. Fekete J0"rg Schepers Department of Mathematical Optimization, Braunschweig
University of Technology, D-38106 Braunschweig, Germany, s.fekete@tu-bs.de IBM Germany,
Gustav-Heinemann-Ufer 120/122, D-50968 Kiln, Germany, schepers@de.ibm.com ...
Cited by 58 - Related articles - BL Direct - All 11 versions - Import into BibTeX

#### An exact algorithm for higher-dimensional orthogonal packing

SP Fekete, J Schepers... - Arxiv preprint cs/0604045, 2006 - arxiv.org
Page 1. arXiv:cs/0604045v1 [cs.DS] 11 Apr 2006 An Exact Algorithm for Higher-Dimensional
Orthogonal Packing • Sándor P. Fekete Department of Mathematical Optimization Braunschweig
University of Technology D–38106 Braunschweig GERMANY s.fekete@tu-bs.de ...
Zitiert durch: 68 - Ähnliche Artikel

### Schnelle Heuristiken:

Bekannt

### **Gute Schranken:**

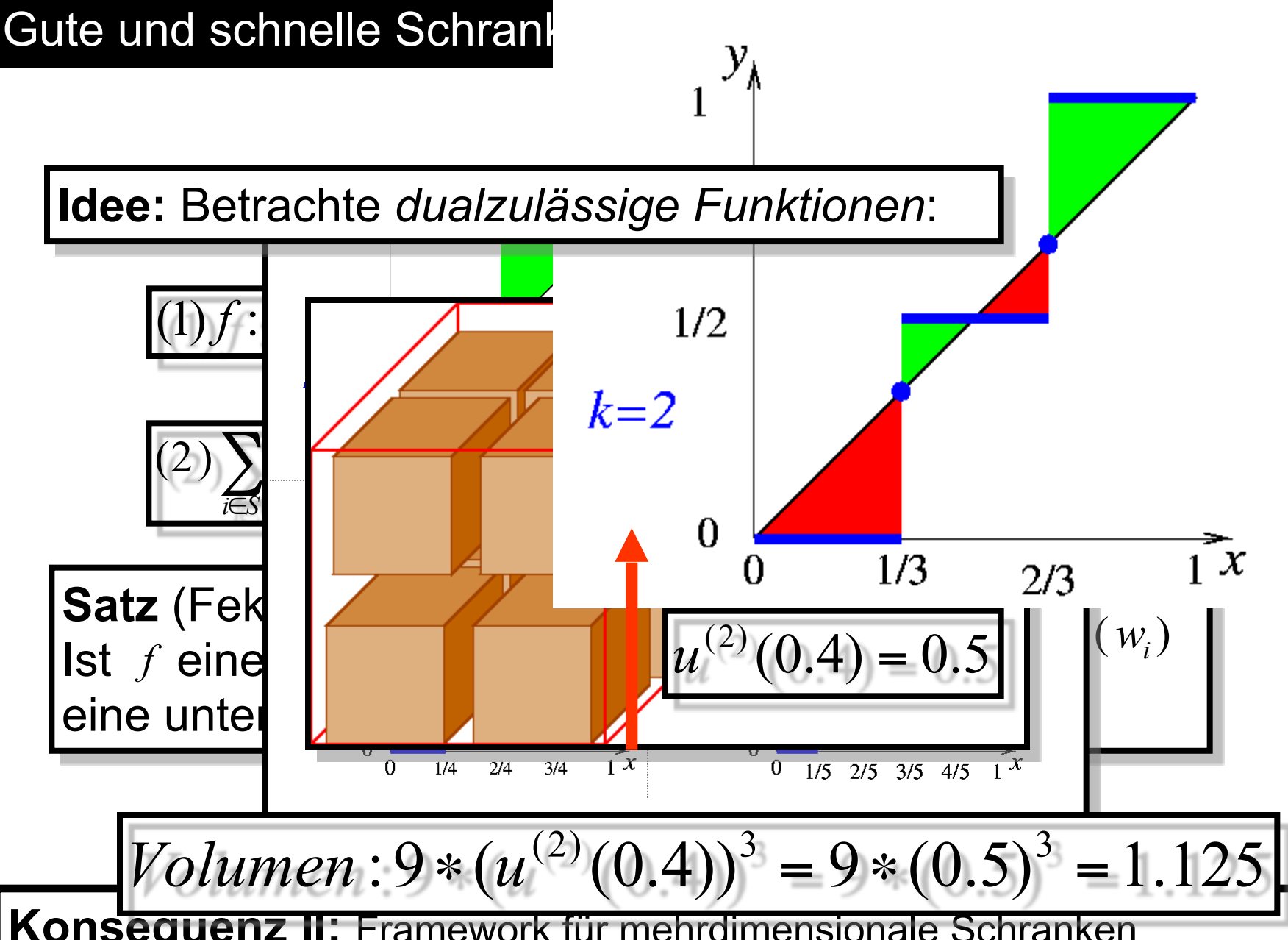
Fekete&Schepers 2001
(Bin Packing, also 1D)
Fekete&Schepers 2004
(Höhere Dimensionen)

### **Schnelle Baumsuche:**

Fekete&Schepers 2004.

### **Praktische Umsetzung:**

Fekete, Schepers, van der Veen 2006



Konsequenz II: Framework für mehrdimensionale Schranken

berechenbar und haben eine Gutegarantie von 1/4.

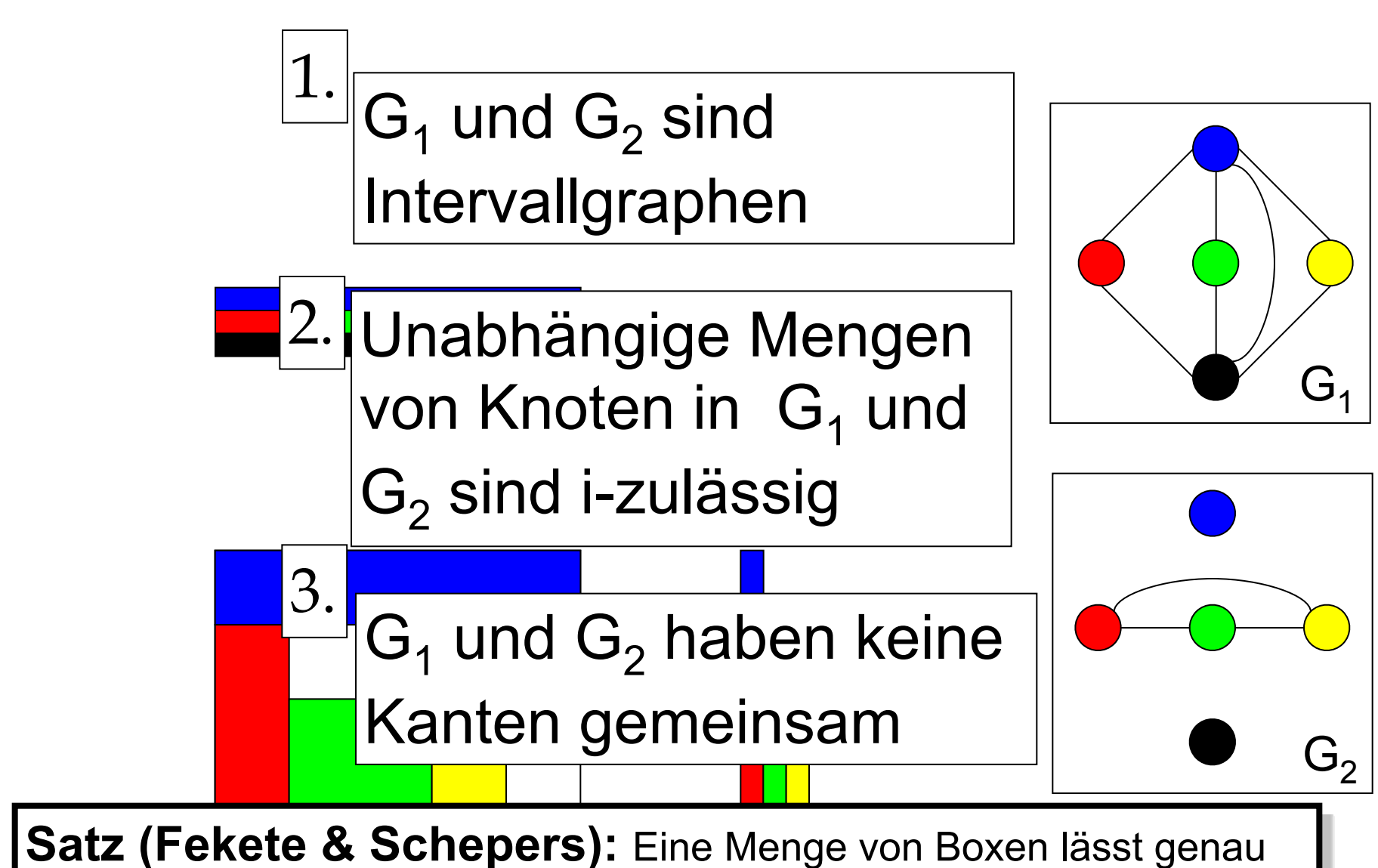
Table 7. Performance for instances without large or small items

s = 100	Bound	$L_1$	L <sub>2</sub>	$L_{+}^{(2)}$	$L_{+}^{(3)}$	$L_{*}^{(4)}$	L <sub>*</sub> <sup>(5)</sup>	$L_{\phi}^{(10)}$	L <sub>+</sub> <sup>(20)</sup>	$L_{+}^{(100)}$
Set										
{20, , 80}	rel. error	4.713	0.603	0.405	0.322	0.259	0.255	0.220	0.210	0.208
8 3 5 6 5 3A	zero gap	76	693	794	837	868	870	888	893	894
	max gap	13	2	1	1	1	1	1	1	1
	total gap	2598	311	206	163	132	130	112	107	106
{20, , 70}	rel. error	1.509	1.063	1.049	1.036	0.590	0.575	0.564	0.538	0.525
	zero gap	440	528	535	541	731	738	743	755	761
	max gap	7	2	2	2	2	2	2	2	2
	total gap	722	495	488	482	273	266	261	249	243
{20, , 60}	rel. error	1.340	1.340	1.340	1.324	1.324	1.324	1.324	1.324	1.324
N 4402 V2 23	zero gap	483	483	483	484	484	484	484	484	484
	max gap	3	3	3	3	3	3	3	3	3
	total gap	556	556	556	549	549	549	549	549	549
{20, , 50}	rel. error	4.321	4.321	4.321	4.321	4.318	4.318	4.318	4.318	4.214
	zero gap	56	56	56	56	57	57	57	57	60
	max gap	3	3	3	3	3	3	3	3	3
	total gap	1615	1615	1615	1615	1614	1614	1614	1614	1575
$\{20, \dots, 40\}$	rel. error	2.236	2.236	2.236	2.236	2.236	2.236	2.236	2.236	2.236
	zero gap	363	363	363	363	363	363	363	363	363
	max gap	2	2	2	2	2	2	2	2	2
	total gap	702	702	702	702	702	702	702	702	702
{20, , 35}	rel. error	6.020	6.020	6.020	6.020	6.020	6.020	6.020	6.020	6.016
	zero gap	4	4	4	4	4	4	4	4	4
	max gap	3	3	3	3	3	3	3	3	3
4	total gap	1796	1796	1796	1796	1796	1796	1796	1796	1795
{20, , 30}	rel. error	2.597	2.597	2.597	2.597	2.597	2.597	2.597	2.597	2.594
	zero gap	603	603	603	603	603	603	603	603	603
	max gap	3	3	3	3	3	3	3	3	3
	total gap	727	727	727	727	727	727	727	727	726

Table 3. Zero gap (out of 1000 instances) for lower bounds for the BPP

	Bound	$L_1$	<i>L</i> <sub>2</sub>	L*(2)	$L_*^{(3)}$	$L_*^{(4)}$	$L_*^{(5)}$	$L_*^{(10)}$	$L_*^{(20)}$	$L_*^{(100)}$
Set	n									
{1, , 100}	32	286	908	918	928	940	942	953	956	959
	100	122	775	833	854	864	872	888	895	897
	316	29	574	706	747	764	774	811	826	828
	1000	2	382	579	613	632	638	667	678	681
{1,,90}	32	347	924	937	945	949	952	963	965	968
	100	231	770	843	869	881	881	896	901	904
	316	275	679	796	826	939	841	855	864	865
	1000	410	703	854	872	878	878	888	888	888
{1,,80}	32	596	938	952	959	963	963	967	967	969
	100	672	922	950	955	957	957	957	957	957
	316	862	951	971	971	971	971	971	971	971
	1000	982	989	989	989	989	989	989	989	989
{20, , 80}	32	187	836	866	882	902	906	921	928	931
	100	76	693	794	837	868	870	888	893	894
	316	21	474	676	720	755	760	795	808	814
	1000	1	354	607	646	666	666	687	698	699
{20, , 70}	32	541	764	777	793	867	877	887	893	902
	100	440	528	535	541	731	738	743	755	761
	316	9	13	13	13	104	105	105	105	105
	1000	0	0	0	0	6	6	6	6	6

### Baumsuche: Packmusterklassen



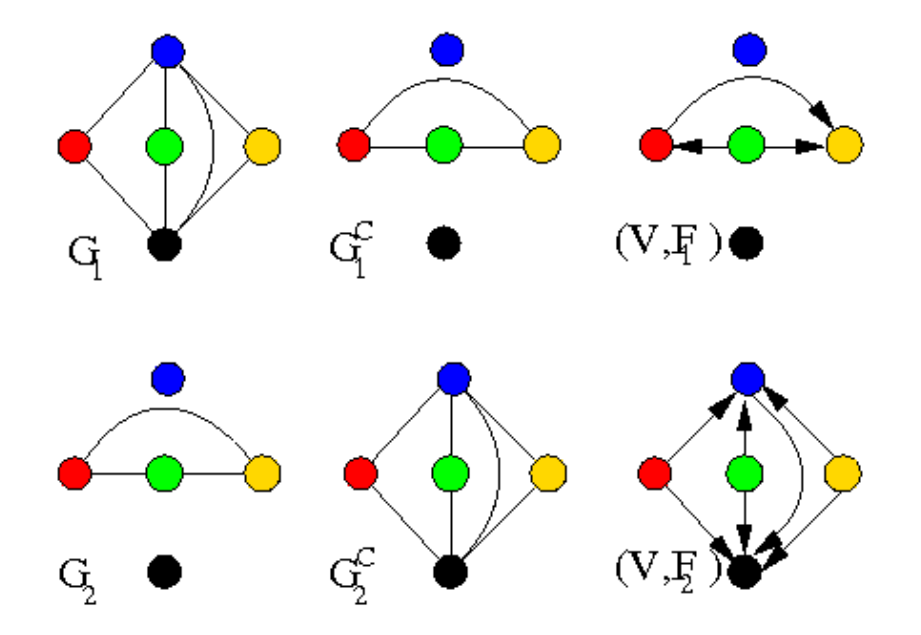
Satz (Fekete & Schepers): Eine Menge von Boxen lässt genau dann eine Packung zu, wenn es eine Packmusterklasse gibt.

# Graphen statt Quader

### Packmusterklassen (3)

### Beweisskizze:

Wegen P1 sind die Komplementärgraphen transitiv orientierbar:



Diese Orientierung repräsentiert die Partialordnung der Objekte in der entsprechenden Koordinatenrichtung.

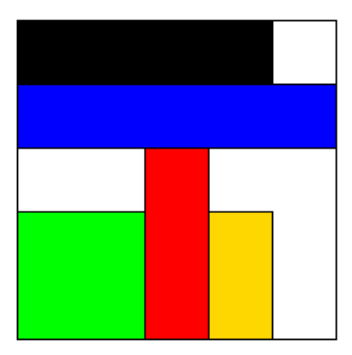
### **Graphen statt Quader**

### Packmusterklassen (4)

(Forts. Beweis)



Induktiv in aufsteigender Koordinatenordnung läßt sich dann eine Packung aufbauen:

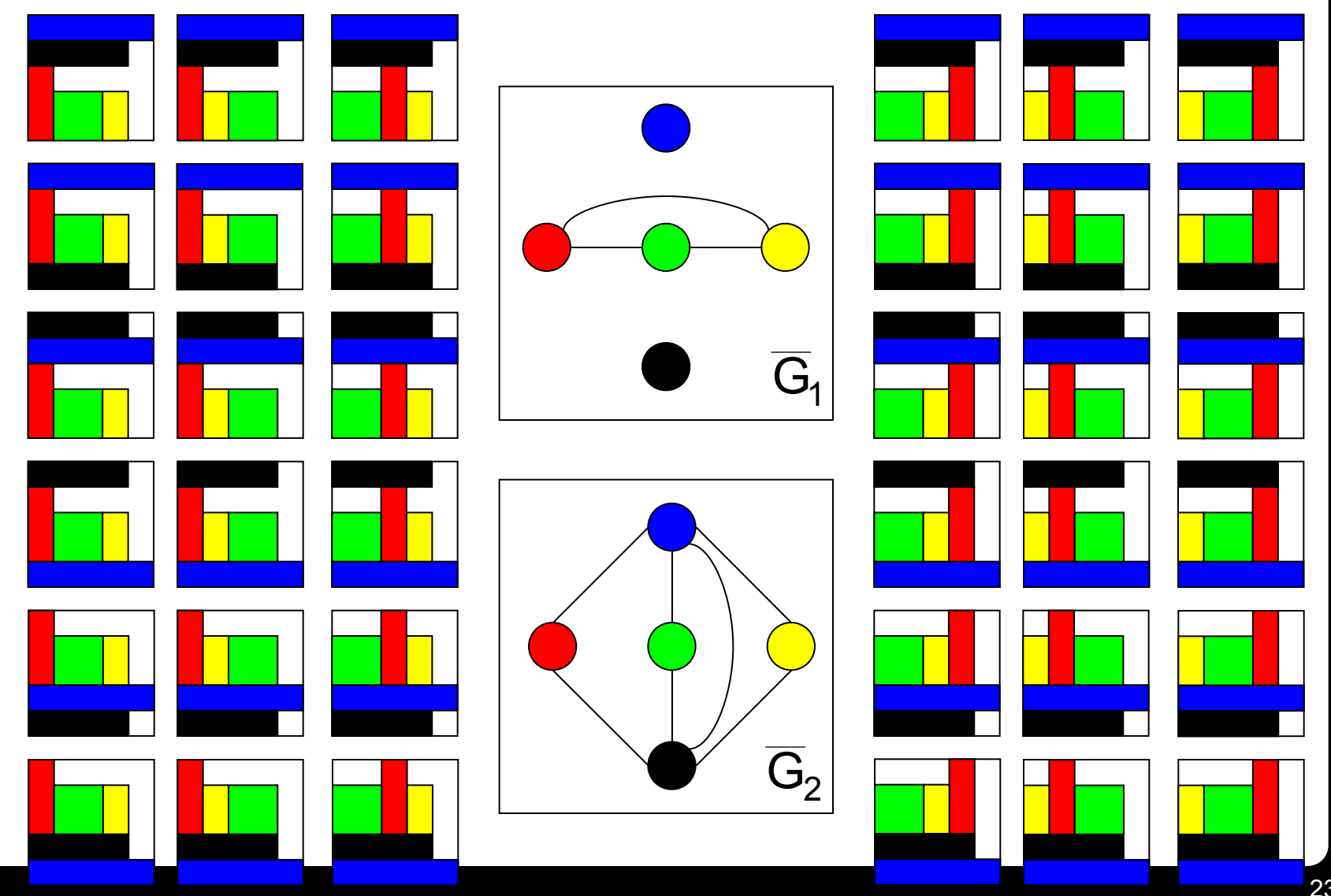


Wegen P3 gibt es keine Überlappungen.

Wegen P2 ragen keine Objekte aus dem Container. (Man beweist in der Induktion, daß es zu jedem Zeitpunkt der Konstruktion für jede Koordinate eine unabhängige Menge gibt, die die gesamte Ausdehnung der Packung in der Koordinate aufspannt.)

# **Graphen statt Quader**

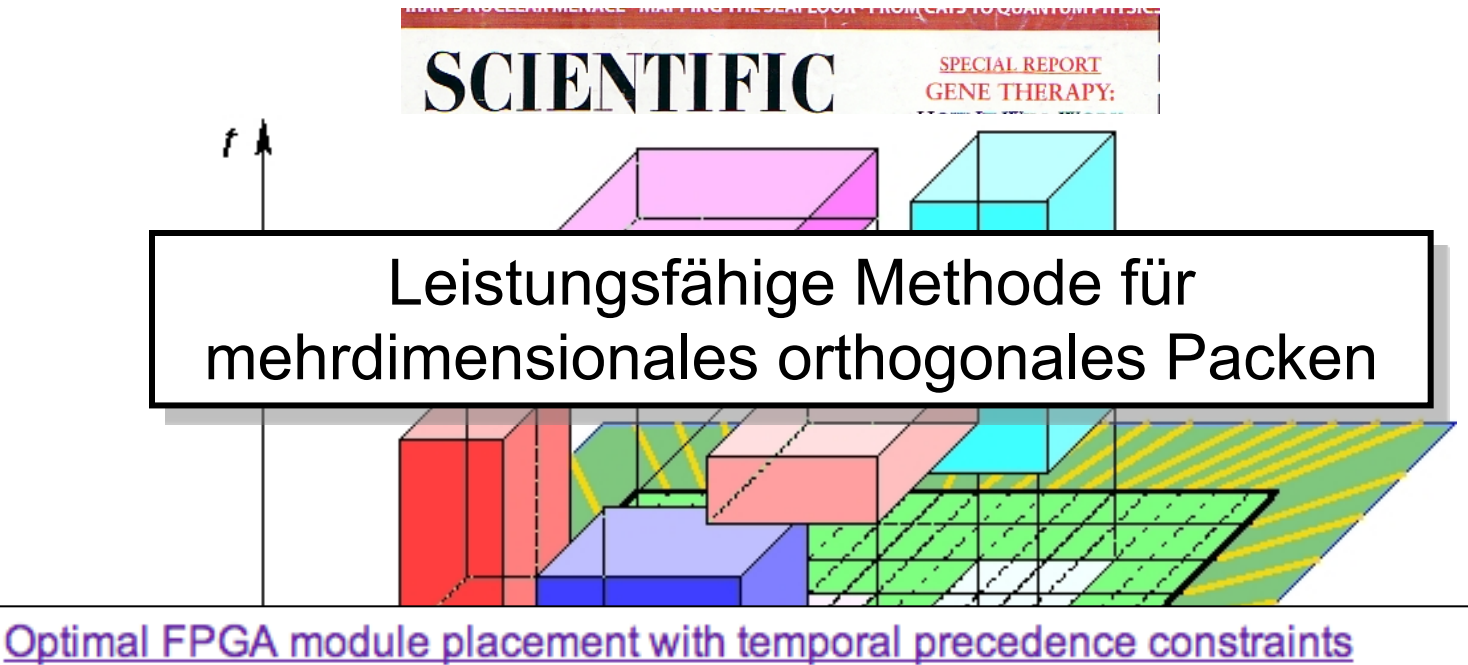
# Packen und Packmusterklassen



23

Problem	Time/s	B85	HC95	CM04					
				$A_0$	$A_1$	$A_2$	A <sub>3</sub>		
beasley1	< 0.01	0.9							
beasley2	< 0.01	4.0							
beasley3	< 0.01	10.5							
beasley4	< 0.01	0.1	0.04						
beasley5	< 0.01	0.4							
beasley6	< 0.01	55.2	45.20						
beasley7	< 0.01	0.5	0.04						
beasley8	0.02	218.6	5.00						
beasley9	<0.01 <0.01	18.3 0.9	5.20						
beasley10 beasley11	< 0.01	79.1							
beasley12	0.02	229.0	> 800						
-		225.0							
hadchr3	< 0.01		532						
hadehr? hadehr8	0.01 <0.01		> 800 > 800						
hadchr11	< 0.01		>800						
hadchr12	< 0.01		65.2						
			65.2						
wang20	0.67			6.75	6.31	17.84	2.72		
chrwhi62	0.54								
3	0.54								
36	0.46								
A1	1.12								
A1s	1.51								
A2	1.62								
A2s	8.35								
CHL2	10.36								
CHL2s	6.84								
CHL3s	< 0.01 < 0.01								
CHL4	< 0.01								
CHL4s	< 0.01								
CHL5	4.66								
cgcut1	< 0.01			0.30	1.47	1.46	1.46		
cgcut2	>1,800			>1,800	>1,800	533,45	531.93		
cgcut3	0.54			23.76	23.68	4.59	4.58		
gcut1	0.01			0.00	0.00	0.01	0.01		
gcut2	0.47			0.52	0.19	25.75	0.22		
gcut3	4.34			>1,800	2.16	276.37	3.24		
gcut4	195.62			>1,800	346.99	>1,800	376.52		
gcut5	0.02			0.00	0.50 0.09	0.03	0.50 0.12		
gcut6				0.06	0.63	9.71			
gcut7	2.24 253.54			1.31 1,202.09	136.71	354.50 > 1.800	1.07 168,50		
gcut8 gcut9	0.01			0.01	0.09	0.05	0.08		
gcut10	0.67			0.01	0.13	6.49	0.14		
gcut11	8.82			16.72	14.76	>1,800	16.30		
gcut12	109.81			63.45	16.85	>1,800	25.39		
gcut13	>1,800			>1,800	>1,800	>1,800	> 1,800		
okp1	10.82			24.06	25,46	72.20	35.84		
okp2	20.25			> 1,800	>1,800	1,535.95	1,559.00		
okp2 okp3	5.98			21.36	>1,800 1.91	465.57	10.63		
okp4	2.87			40.40	2.13	0.85	4.05		
okp5	11.78			40.14	> 1.800	513.06	488.27		
	11.70			7017	21,000	242,000	400.27		

### Packen in der Elektrotechnik

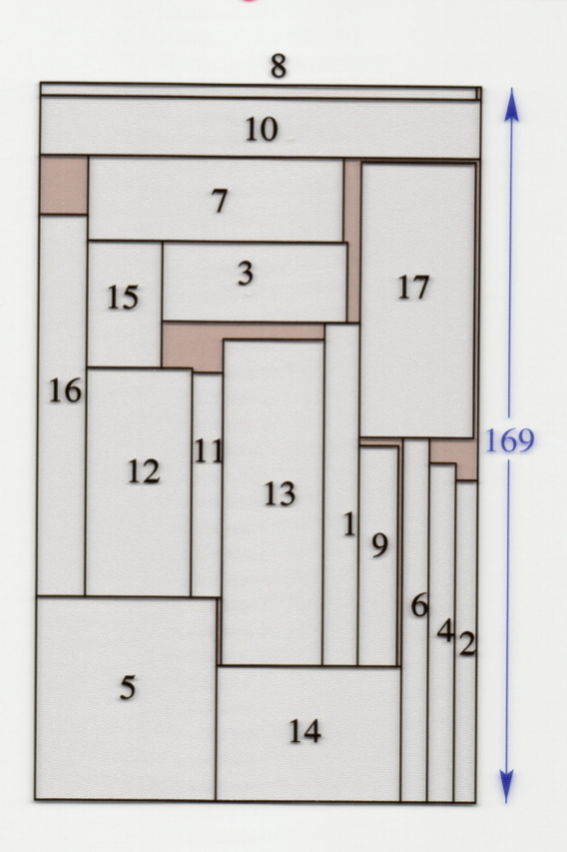


S Fekete, E Kohler... - Design, Automation and Test in ..., 2002 - ieeexplore.ieee.org Optimal FPGA Module Placement with Temporal Precedence Constraints ... Siindor P. Fekete\* Ekkehard Kohler+ Jiirgen Teich4 ... We consider the optimal placement of hardware mod- ules in space and time for FPGA architectures ,with re- conjiguration capabilities, ... Cited by 97 - Related articles - All 25 versions - Import into BibTeX

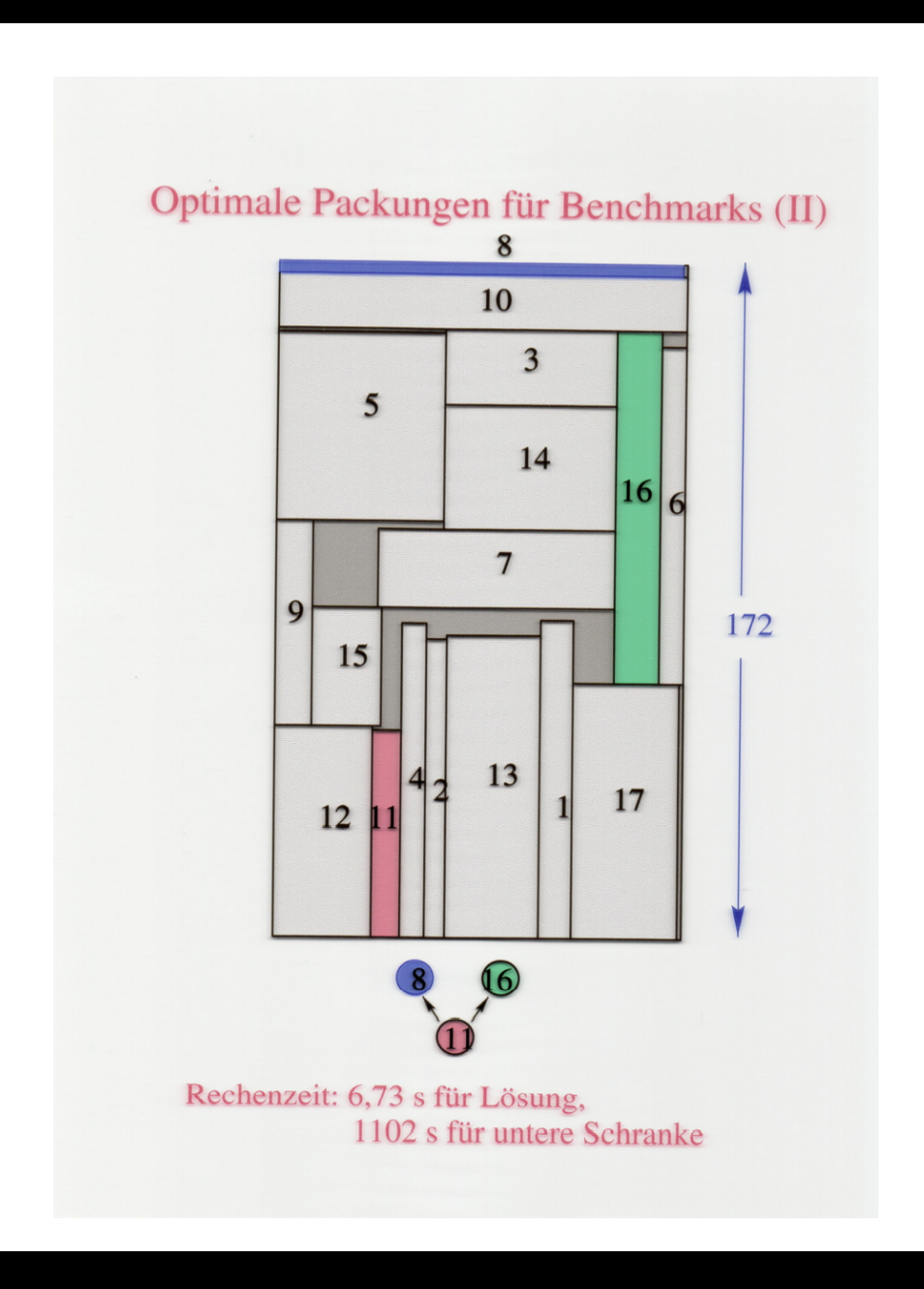
Erl

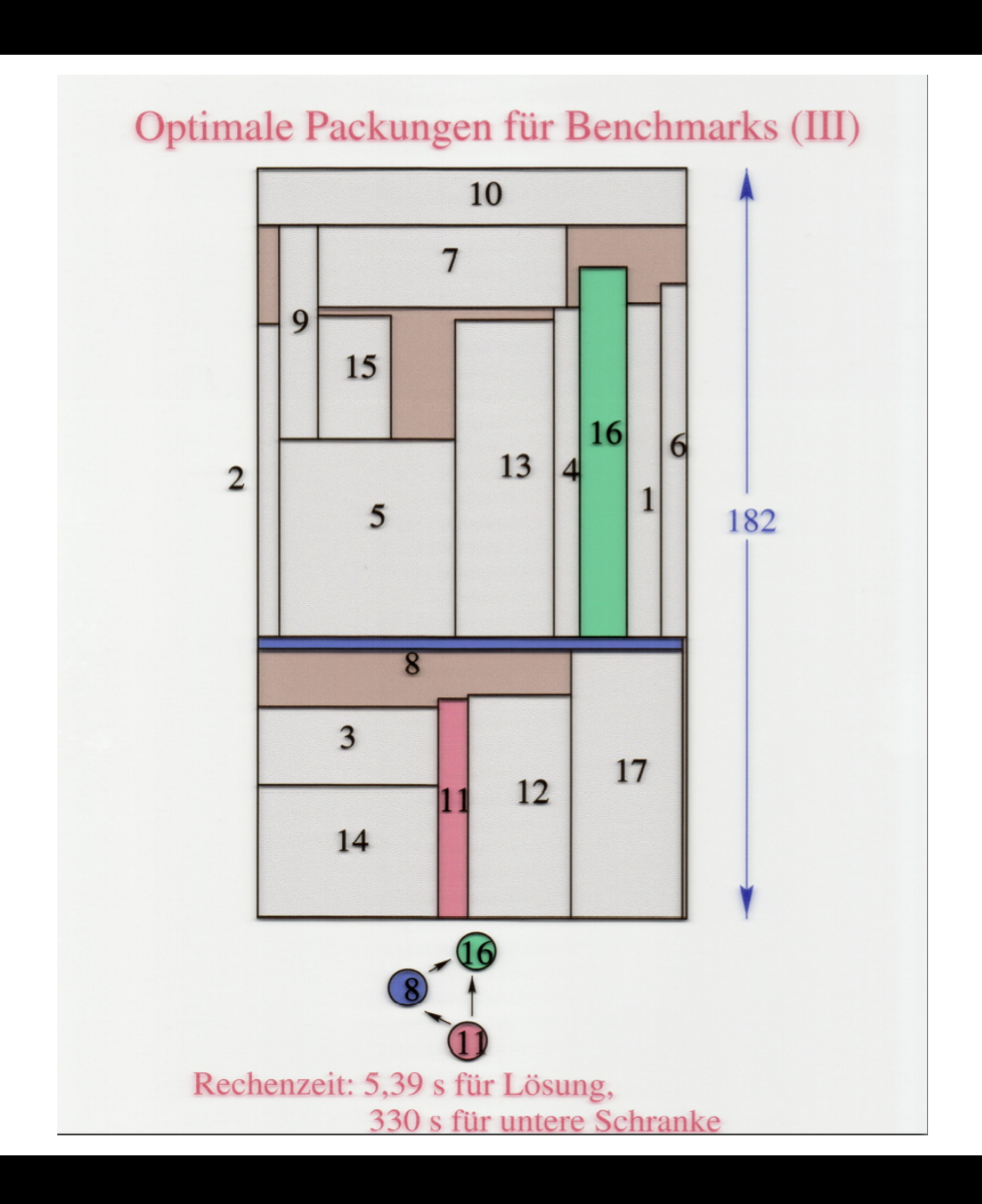
DFG-Projekt "ReCoNodes" 2003-2009, mit Jürgen Teich (Software-Hardware-CoDesign, Erlangen)

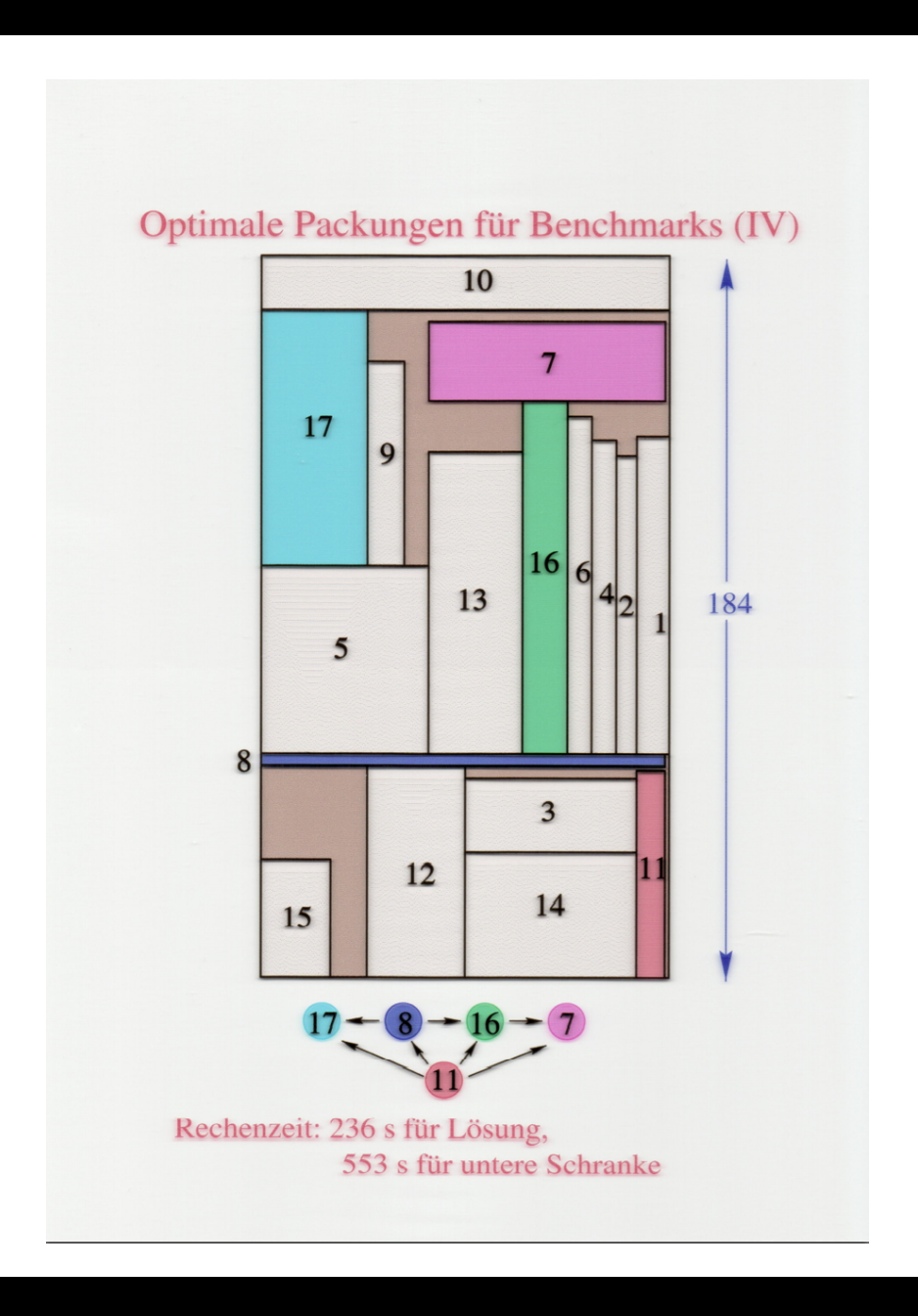
### Optimale Packungen für Benchmarks



Rechenzeit: 7,29 s für Lösung, 179 s für untere Schranke





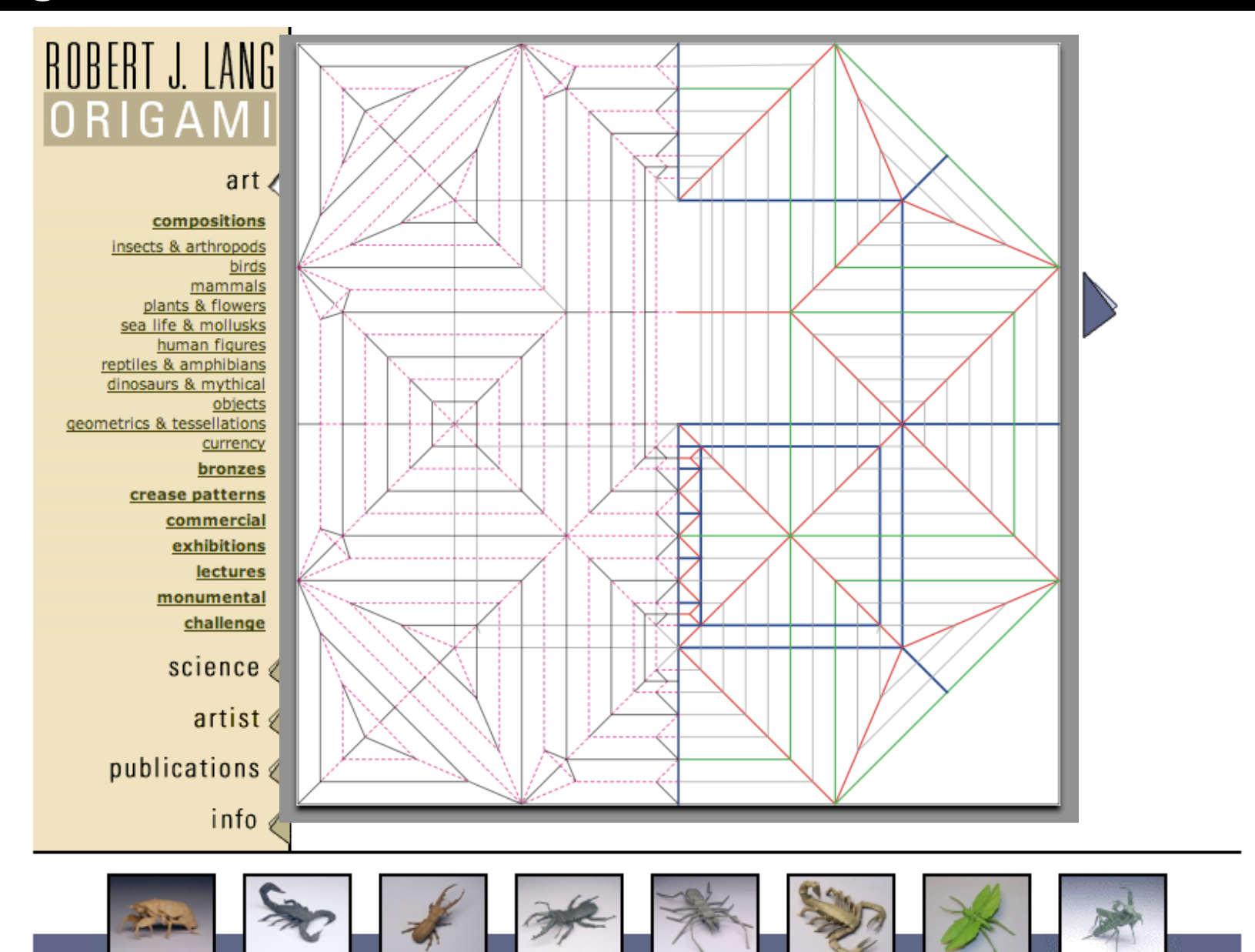


# Origami

# Falter unter sich



### Origami



### Origami



3] 20 Sep 20]

Orig Har Origa they's KFC 08 30 CON



square compu autom shape

Some

### Circle Packing for Origami Design Is Hard

Erik D. Demaine\* Sándor P. Fekete<sup>†</sup> Robert J. Lang<sup>‡</sup>

#### 1 Introduction

Over the last 20 years, the world of origami has been changed by the introduction of design algorithms that bear a close relationship to, if not outright ancestry from, computational geometry. One of the first robust algorithms for origami design was the circle/river method (also called the tree method) developed independently by Lang [7]-9 and Meguro [12]-13. This algorithm and its variants provide a systematic method for folding any structure that topologically resembles a graph theoretic weighted tree. Other algorithms followed, notably one by Tachi [15] that gives the crease pattern to fold an arbitrary 3D surface.

Hopes of a general approach for efficiently solving all origami design problems were dashed early on, when Bern and Hayes showed in 1996 that the general problem of crease assignment — given an arbitrary crease pattern, determine whether each fold is mountain or valley — was NP-complete [I]. In fact, they showed more: given a complete crease assignment, simply determining the stacking order of the layers of paper was also NP-complete. Fortunately, while crease assignment in the general case is hard, the crease patterns generated by the various design algorithms carry with them significant extra information associated with each crease, enough extra information that the problem of crease assignment is typically only polynomial in difficulty. This is certainly the case for the tree method of design [3].

Designing a model using the tree method (or one of its variants) is a two-step process: the first step involves solving an optimization problem where one solves for certain key vertices of the crease pattern. The second step constructs creases following a geometric prescription and assigns their status as mountain, valley, or unfolded. The process of constructing the creases and assigning them is definitely polynomial in complexity; but, up to now, the computational complexity of the optimization was not established.

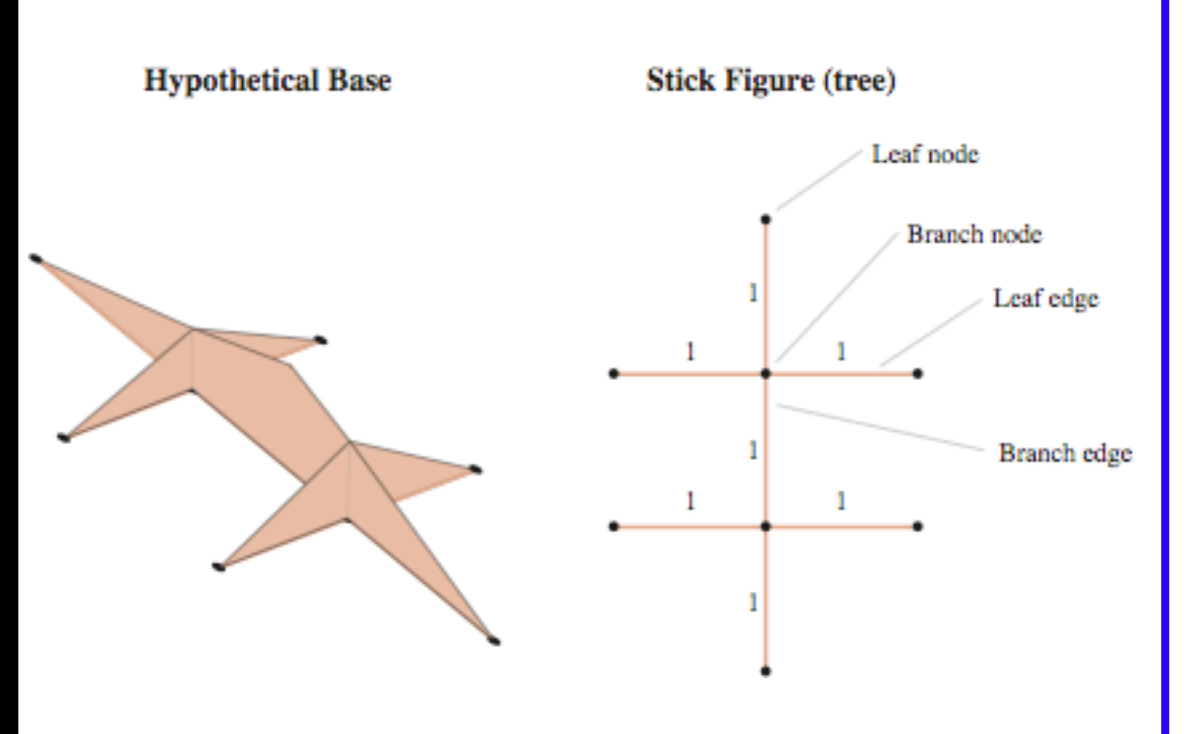
There were reasons for believing that the optimization was, in principle, computationally intractable. The conditions on the vertex coordinates in the

<sup>\*</sup>edemaine@mit.edu.

<sup>†</sup>s.fekete@tu-bs.de.

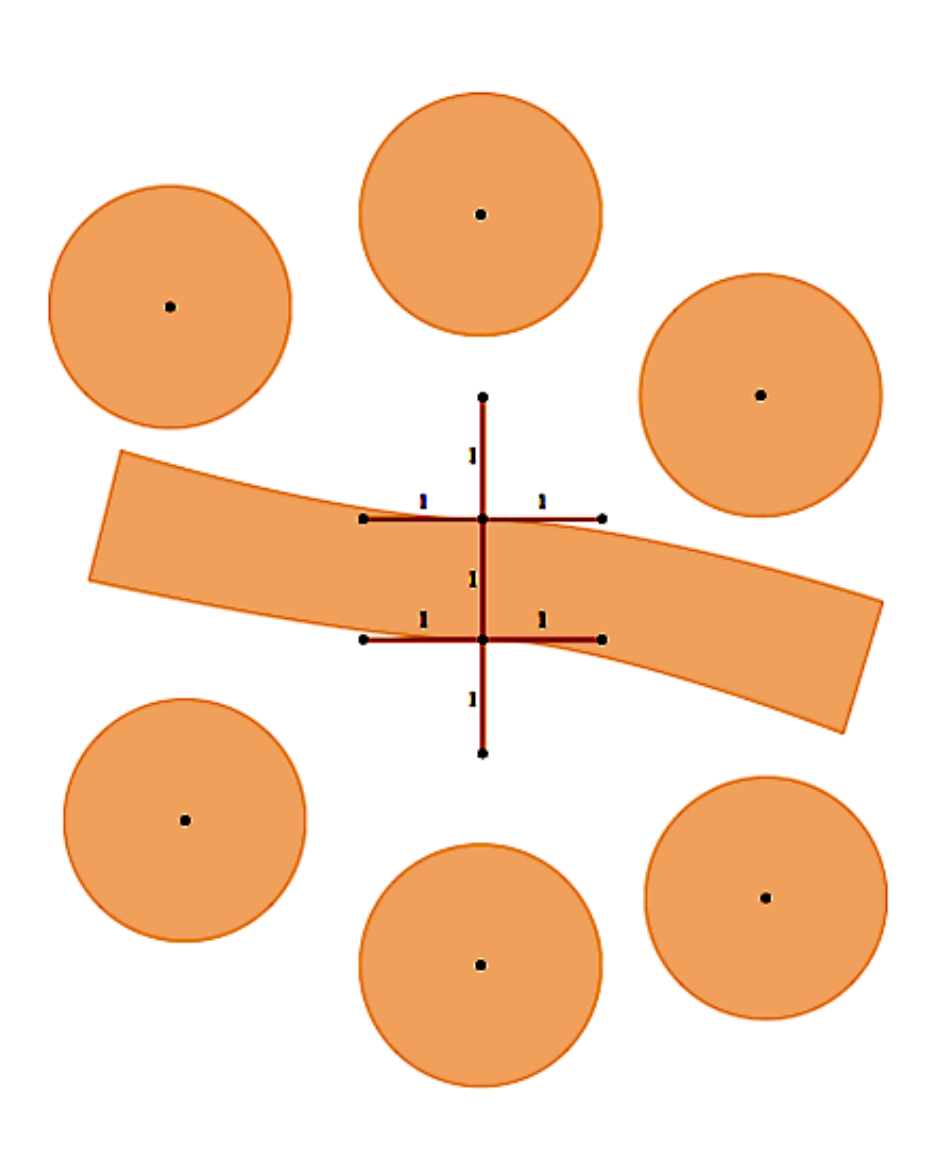
<sup>\*</sup>robert@langorigami.com.

### Schritt 1 - Baumkonstruktion



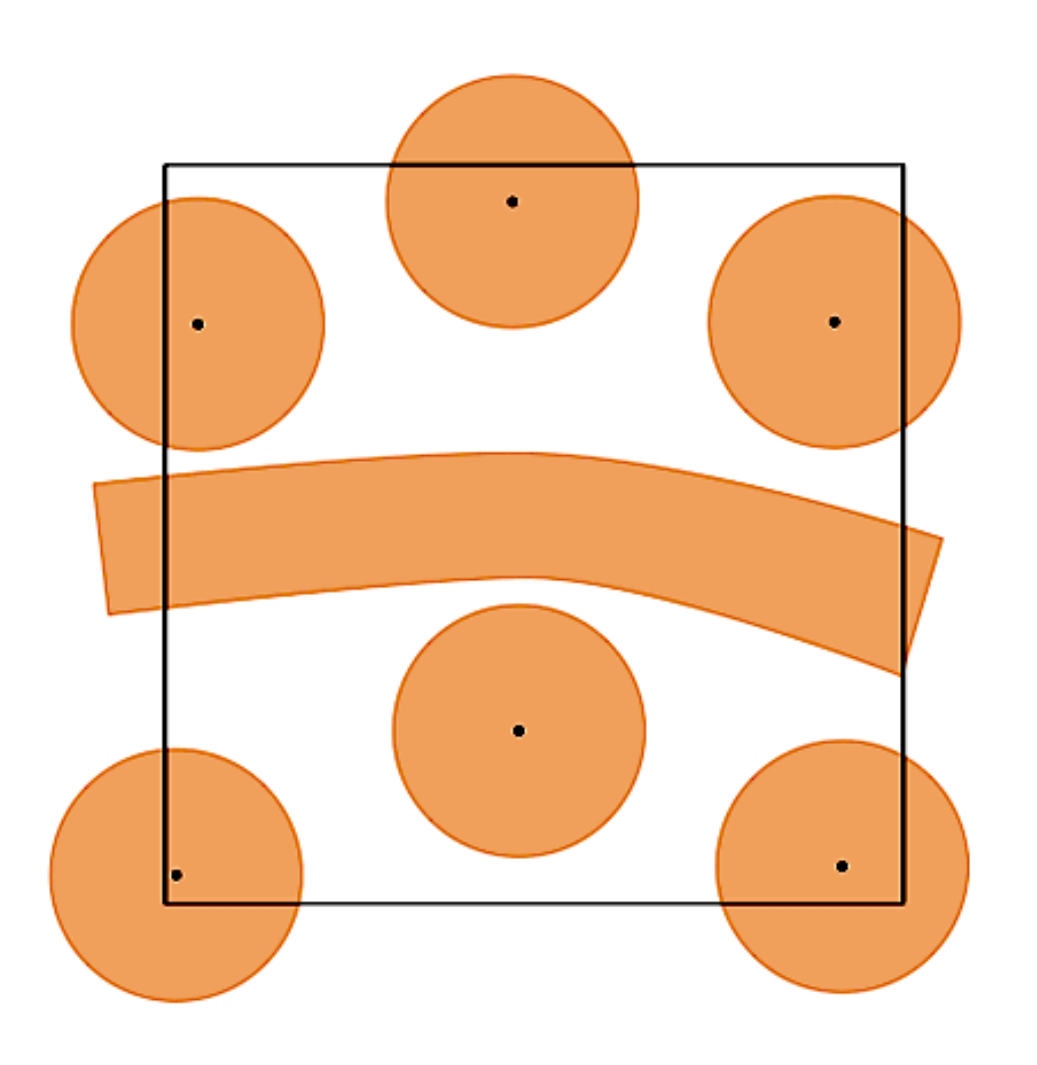
- Jede Kante repräsentiert eine Klappe.
- Jeder Knoten ist eine Klappenspitze oder eine Verbindung von Klappen.
- Endklappen entsprechen Blattkanten im Baum.

# Schritt 2 – Von Bäumen zu Flüssen



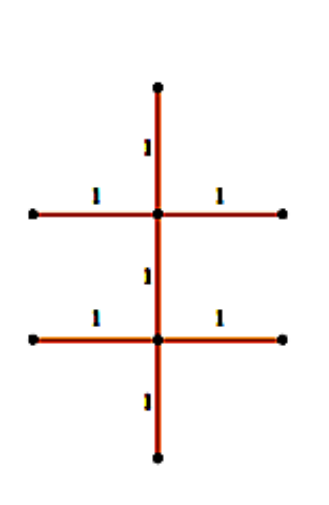
- Endklappen werden zu Kreisen
- Verzweigungskanten werden zu Flüssen
- Radius/Breite eines Kreises/Flusses ist die Länge einer Klappe.

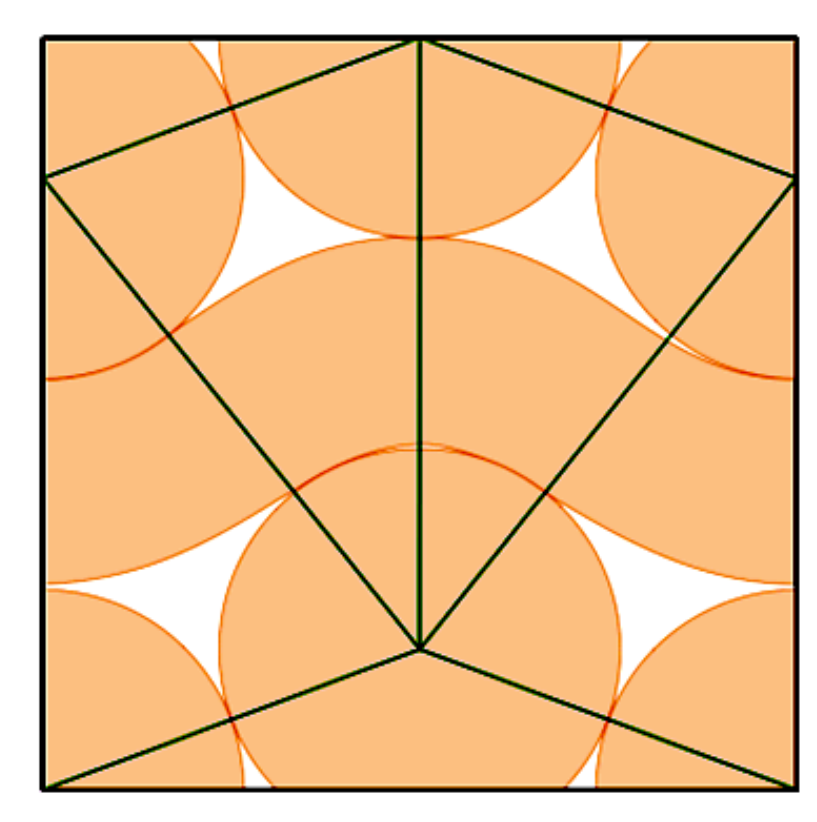
### Schritt 3 – Kreispackung in Quadrat



- Packe Mittelpunkte in ein Quadrat, dann vergrößere die Objekte (oder schrumpfe das Quadrat).
- Kreismittelpunkte
   müssen innerhalb des
   Quadrates bleiben
   (Mittelpunkte sind
   Klappenspitzen).

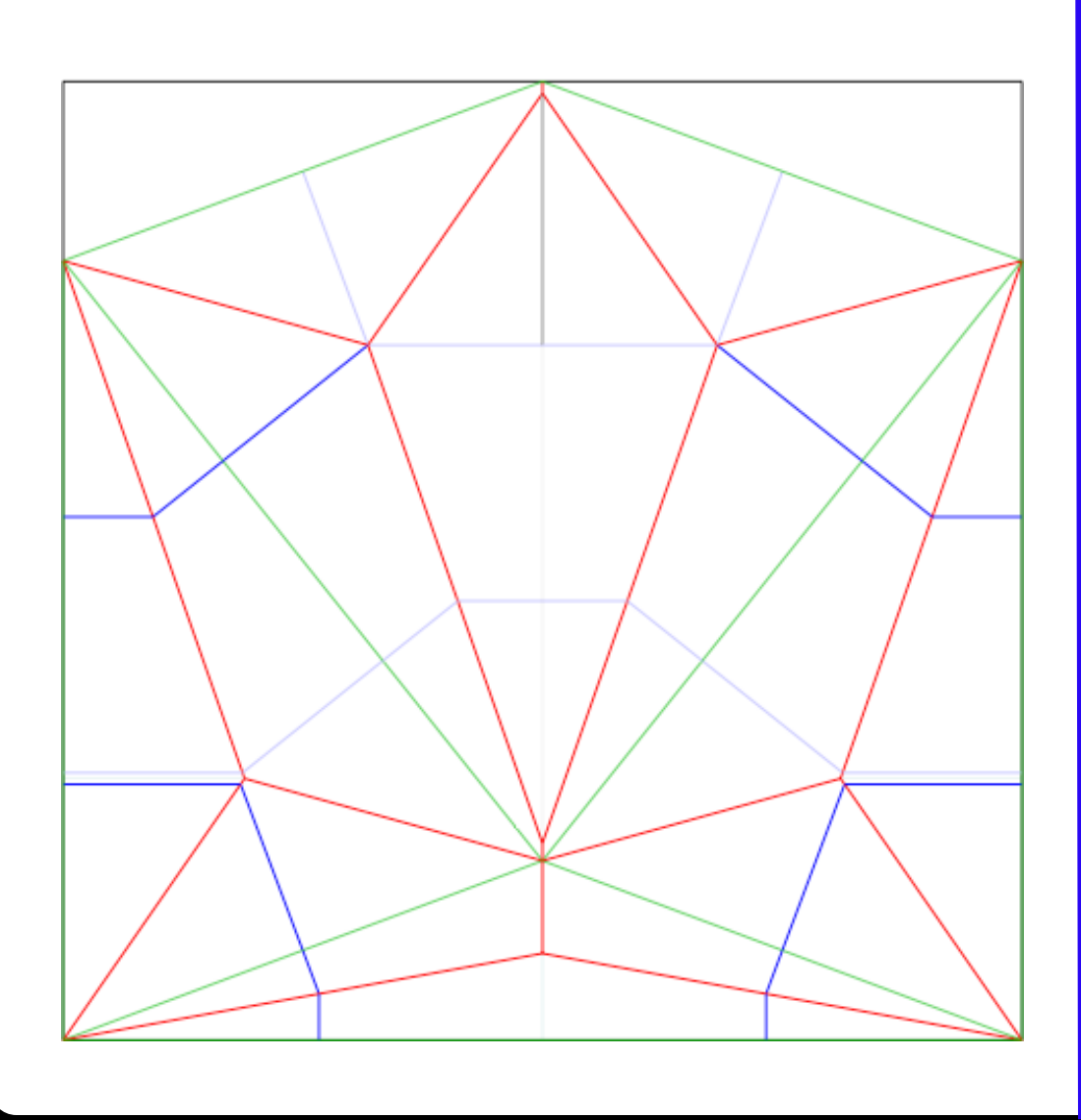
## Schritt 4 – Dualgraph bilden





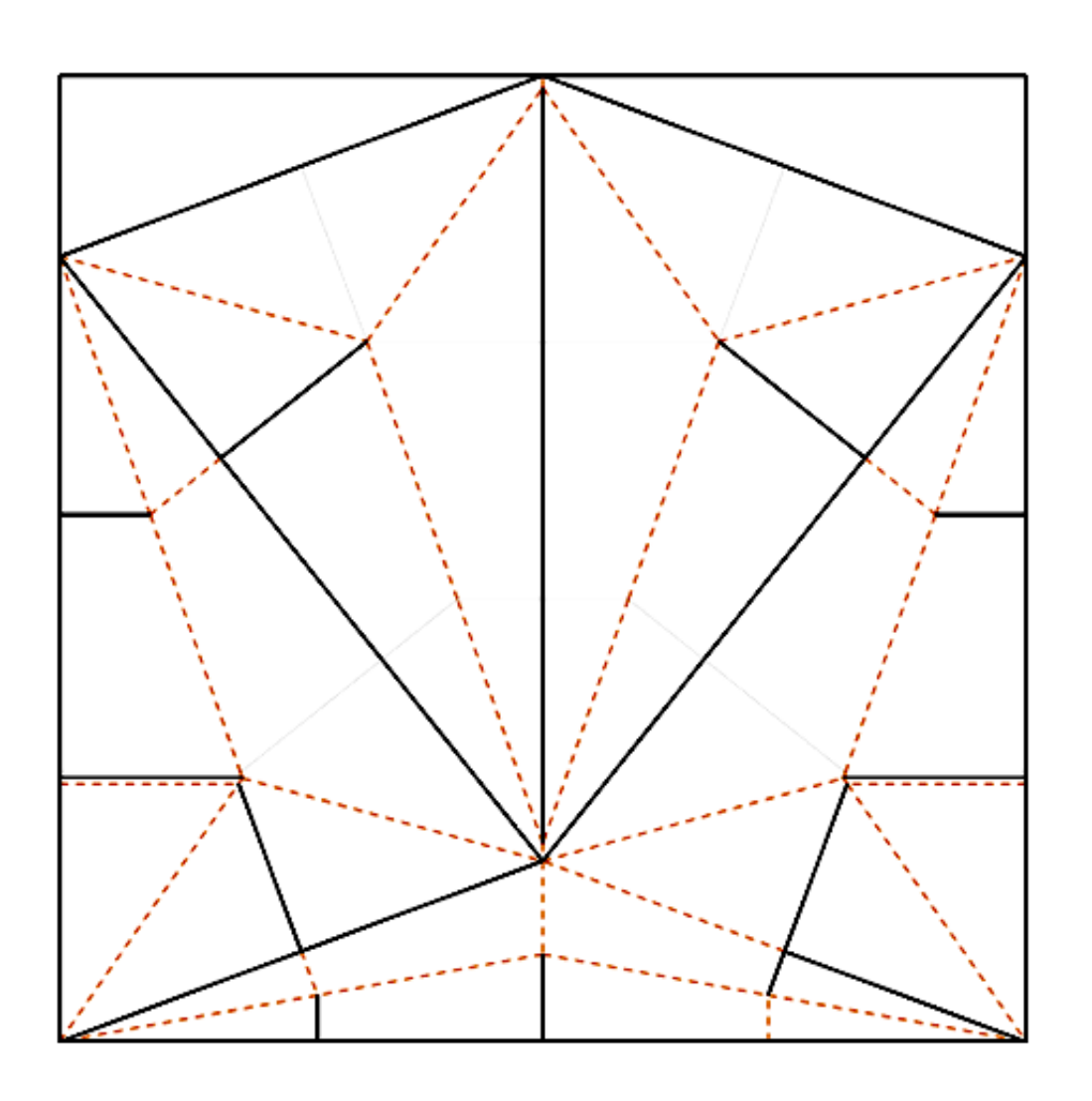
- Resultierende Polygone sind alle konvex.
- Keine "losen"
   Kreise erlaubt
- Verbindungen sind axiale
   Faltungen

## Schritt 5 – Quadrat mit Faltungen füllen



- Axial (grün)
- Kante (rot)
- Zwickel (grau)
- Scharnier (blau)

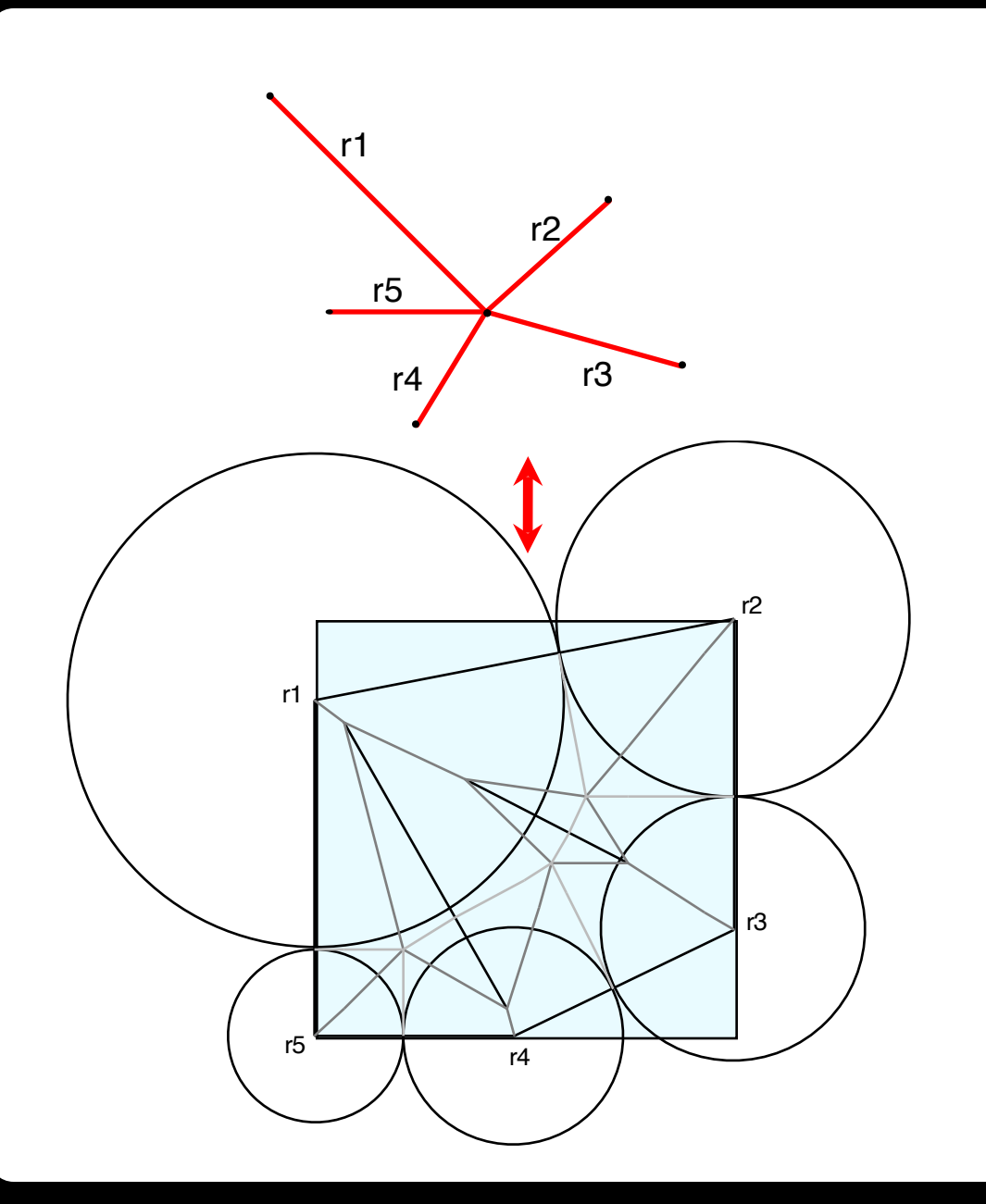
## Schritt 6 – Faltungen zuordnen



## Ein exakter Algorithmus existiert

- Implementiert in TreeMaker
- Schneller; Einfache Regeln anwenden und die Ausnahmen behandeln
- Axial = fast immer Berg
- Kante = immer Tal
- Zwickel = immer Berg
- Scharnier = Berg, Tal, flach, abhängig von Klappenrichtung

## Sterne und Kreispackungen



- Die Pfadbedinungen für einen Stern sind äquivalent zum Problem, die Mittelpunkte einer Menge von Kreisen in ein Quadrat zu packen.
- Der Kreisradius entspricht jeweils der Kantenlänge.

## Komplexität: 3-Partition



Gegeben:

$$3k$$
 Zahlen  $\frac{1}{4} < 3 < \frac{1}{2}$ 

#### **Gesucht:**

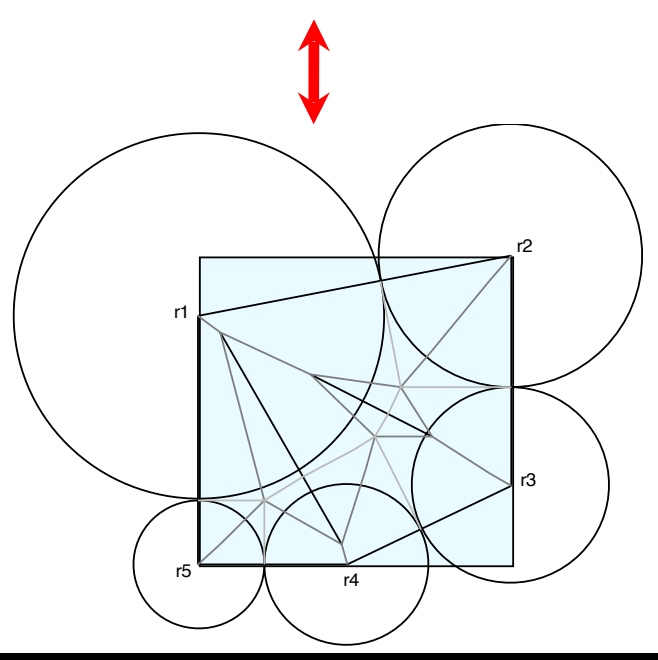
Eine Partition in gleichgroße
Tripel – d.h., eine
Packung in *k*Einheitscontainer.

#### **Bekannt:**

3-Partition ist NP-schwer.

## Komplexität: Beweis von NP-Schwere





#### Gegeben:

3k Zahlen 
$$\frac{1}{4} < 3 < \frac{1}{2}$$

#### **Transformiere in:**

eine Kreispackungsinstanz die gelöst werden kann, gdw die 3-Partitioninstanz lösbar ist.

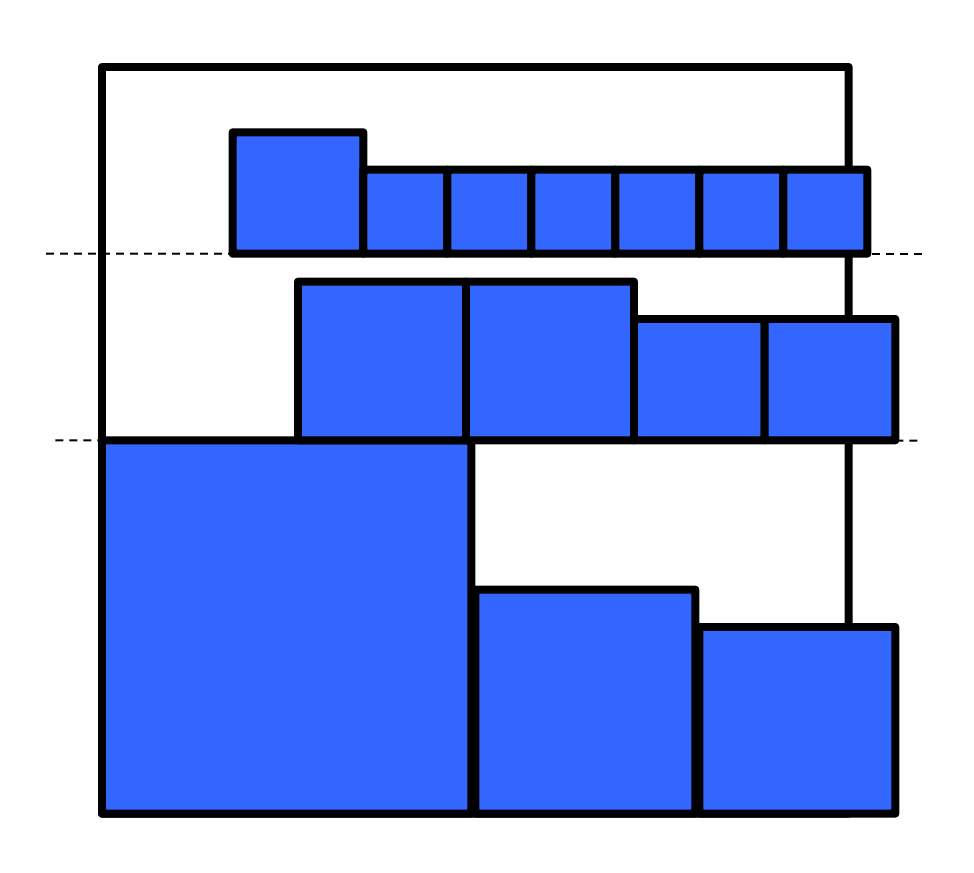
#### Konsequenz 1:

Falls es einen polynomiellen Algorithmus für Kreispacken gibt, dann ist P=NP.

#### Konsequenz 2:

Falls es einen effizienten Algorithmus für Origami-Design gibt, ist P=NP

## Untere Schranke für Quadrate



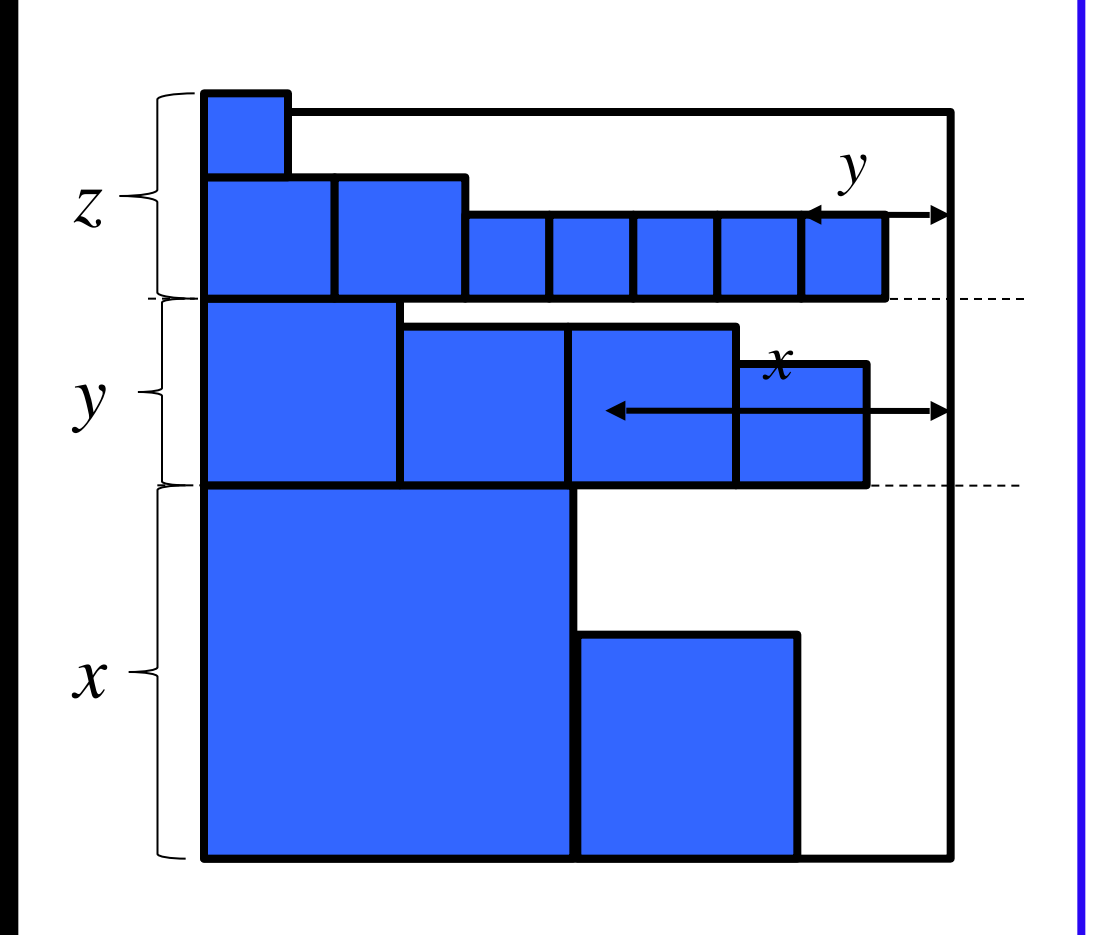
#### Satz:

Jede Menge von Quadraten mit Gesamtfläche höchstens 0.5 lässt sich in ein Einheitsquadrat packen.

#### **Beweisidee:**

- (1) Sortiere die Quadrate nach absteigender Größe.
- (2) Verwende Shelf Packing.
- (3) Betrachte erste unzulässige Packung.

## **Untere Schranke für Quadrate**



## Bilanziere gepackte Fläche:

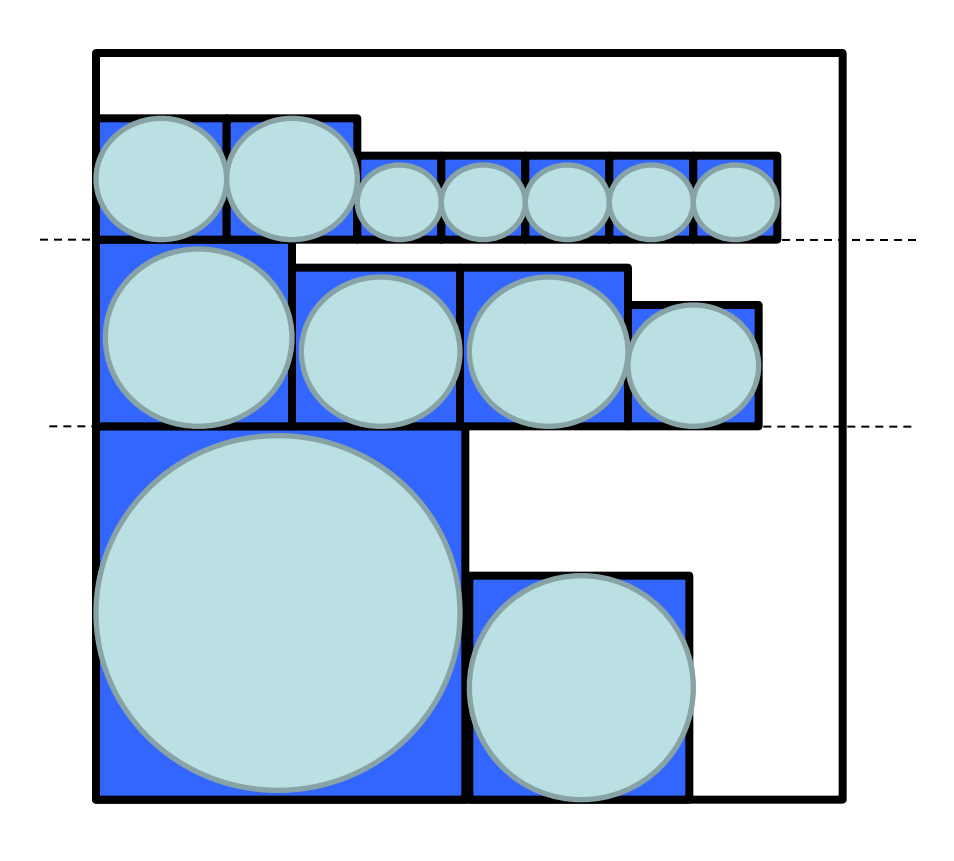
$$x + y + z > 1$$

$$F > z(1-y)$$

$$> (1-x-y)(1-y) + y(1-x) + x^2$$



## Untere Schranke für Kreise

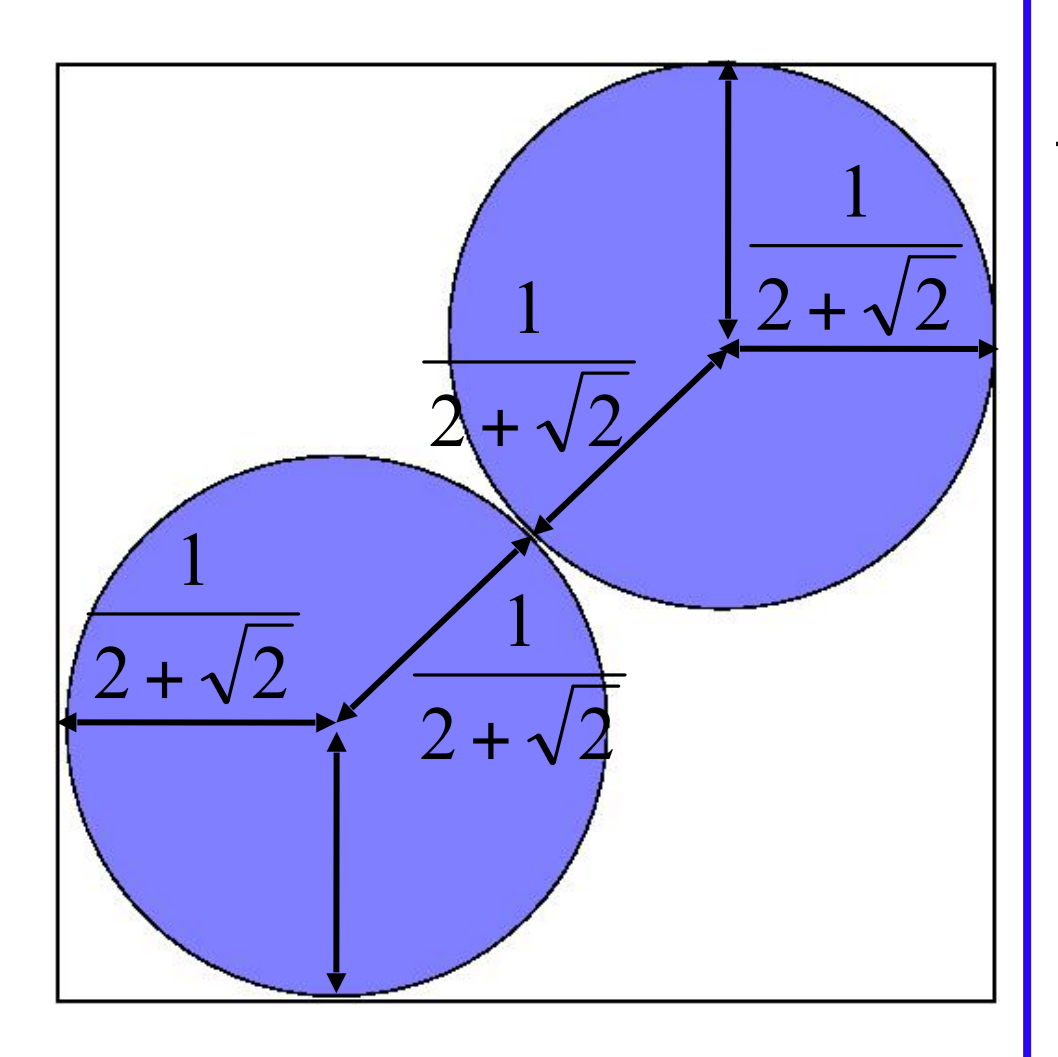


#### **Korollar:**

Jede Menge von Kreisen mit Gesamtfläche höchstens

$$\frac{\pi}{8} = 0.392699...$$
 lässt sich in ein Einheitsquadrat packen.

## **Obere Schranke**



Kritische Konfiguration für Kreise, Dichte:

$$\frac{2\pi}{6+4\sqrt{2}} = 0.53901...$$



#### Master's Thesis

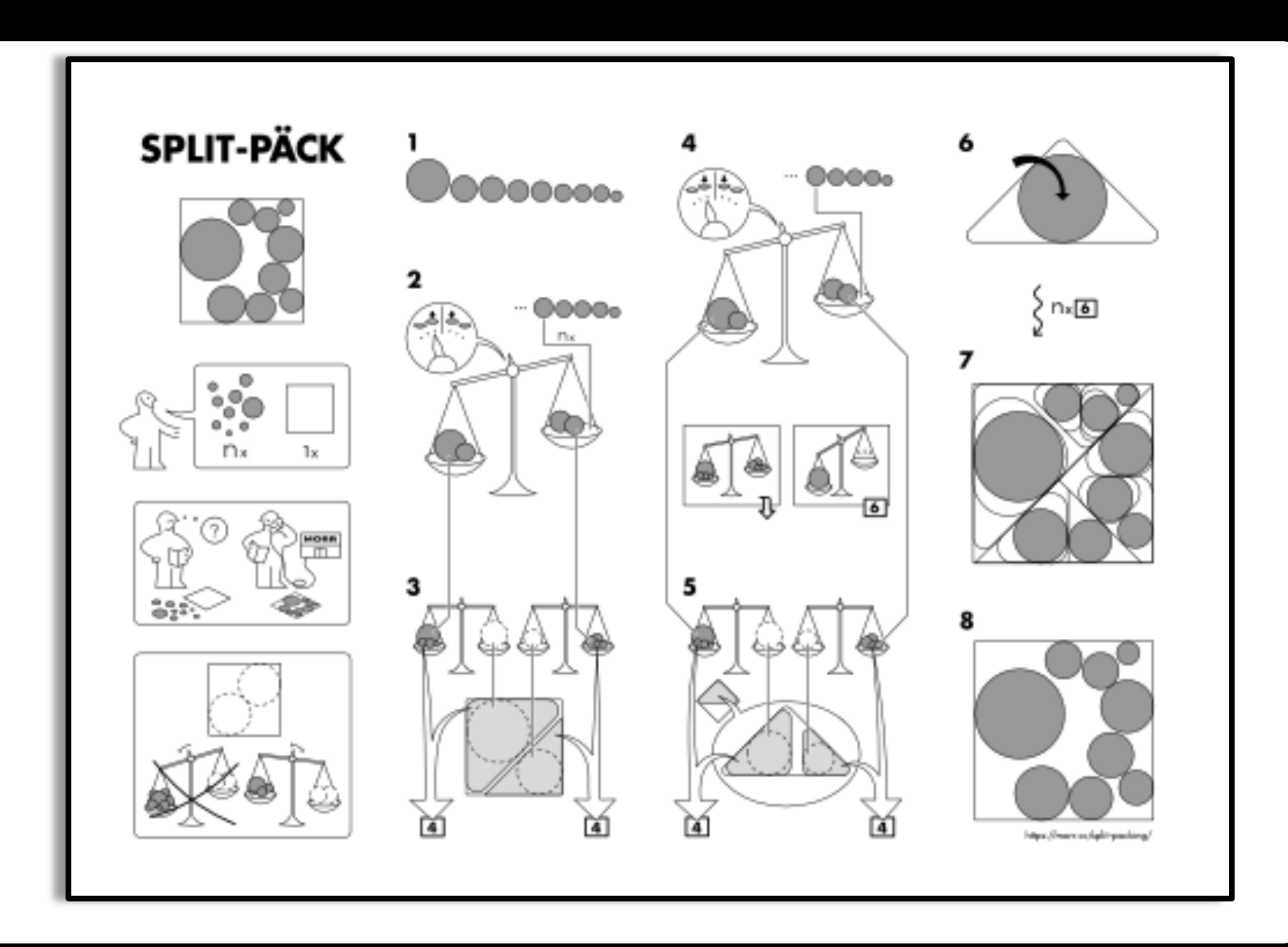
# Split Packing: An Algorithm for Packing Circles with up to Critical Density

Sebastian Morr

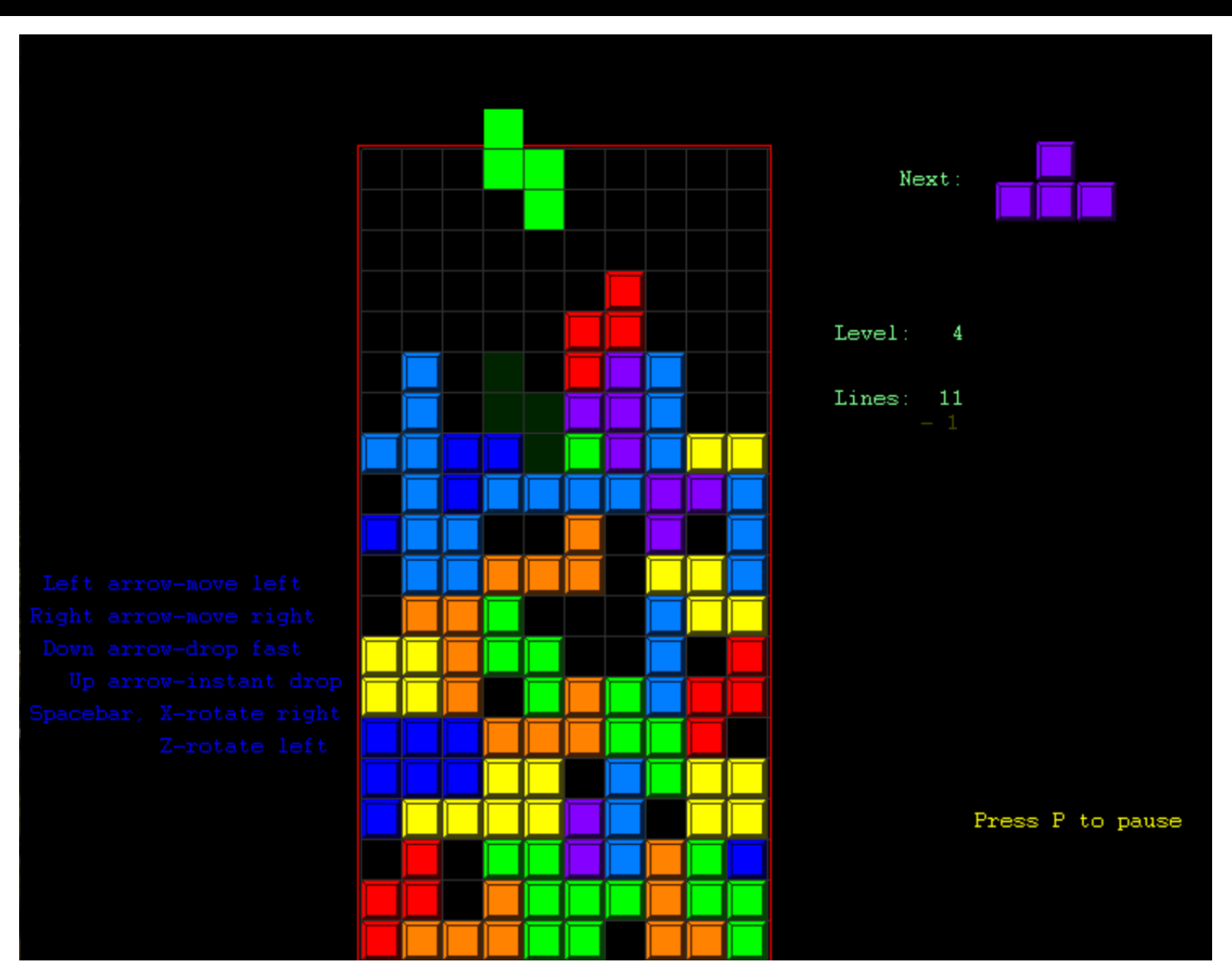
2016-06-02

Institute of Operating Systems and Computer Networks

Supervisors: Prof. Dr. Sándor Fekete Dr. Christian Scheffer



## **Online-Packen**



Algorithmica DOI 10.1007/s00453-012-9713-8

#### Online Square Packing with Gravity

Sándor P. Fekete - Tom Kamphans - Nils Schweer

Received: 21 October 2010 / Accepted: 9 November 2012 © Springer Science+Business Media New York 2012

Abstract We analyze the problem of packing squares in an online fashion: Given a semi-infinite strip of width 1 and an unknown sequence of squares of side length in [0, 1] that arrive from above, one at a time. The objective is to pack these items as they arrive, minimizing the resulting height. Just like in the classical game of Tetris, each square must be moved along a collision-free path to its final destination. In addition, we account for gravity in both motion (squares must never move up) and position (any final destination must be supported from below). A similar problem has been considered before; the best previous result is by Azar and Epstein, who gave a 4-competitive algorithm in a setting without gravity (i.e., with the possibility of letting squares "hang in the air") based on ideas of shelf packing: Squares are assigned to different horizontal levels, allowing an analysis that is reminiscent of some bin-packing arguments. We apply a geometric analysis to establish a competitive factor of 3.5 for the bottom-left heuristic and present a  $\frac{34}{15} \approx 2.6154$ -competitive algorithm.

Keywords Online packing - Strip packing - Squares - Gravity - Tetris

#### 1 Introduction

#### 1.1 Packing Problems

Packing problems arise in many different situations, either concrete (where actual physical objects have to be packed), or abstract (where the space is virtual, e.g., in

Tom Karrhans was supported by DFG grant FE 407/8-3, project "ReCoNodes". A preliminary extended abstract summarizing the results of this paper appeared in [15].

S.P. Fekete ((≤3) · T. Kamphana · N. Schweer Department of Computer Science, Algorithma Group, Braunschweig University of Technology, Mullempfordstrasse 23, 38106 Braunschweig, Germany e-mail: a.fcket@tu-bade

Published online: 16 November 2012



#### Technische Universität Braunschweig Institut für Betriebssysteme und Rechnerverbund

**Master Thesis** 

Online Packing Into Squares

by Hella-Franziska Hoffmann

**Supervisor:** 

Prof. Dr. Sándor P. Fekete

#### Online Square-into-Square Packing

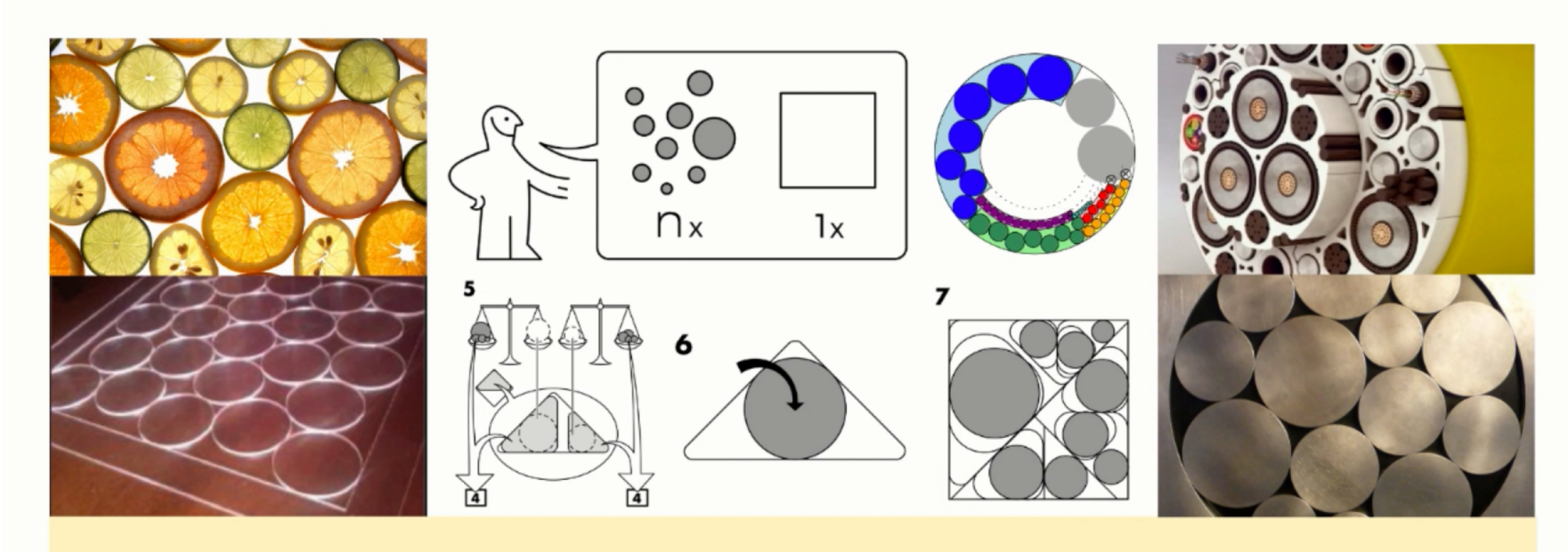
Sándor P. Fekete<sup>1</sup> and Hella-Franziska Hoffmann<sup>2</sup>

- <sup>1</sup> Department of Computer Science, TU Braunschweig, Germany s.fekete@tu-bs.de
- <sup>2</sup> Cheriton School of Computer Science, University of Waterloo, Canada hrhoffma@uwaterloo.ca

Abstract. In 1967, Moon and Moser proved a tight bound on the critical density of squares in squares: any set of squares with a total area of at most 1/2 can be packed into a unit square, which is tight. The proof requires full knowledge of the set, as the algorithmic solution consists in sorting the objects by decreasing size, and packing them greedily into shelves. Since then, the online version of the problem has remained open; the best upper bound is still 1/2, while the currently best lower bound is 1/3, due to Han et al. (2008). In this paper, we present a new lower bound of 11/32, based on a dynamic shelf allocation scheme, which may be interesting in itself.

We also give results for the closely related problem in which the size of the square container is not fixed, but must be dynamically increased in order to accommodate online sequences of objects. For this variant, we establish an upper bound of 3/7 for the critical density, and a lower bound of 1/8. When aiming for accommodating an online sequence of squares, this corresponds to a 2.82...-competitive method for minimizing the required container size, and a lower bound of 1.33... for the achievable factor.

**Keywords:** Packing, online problems, packing squares, critical density.



# Packing Geometric Objects with Optimal Worst-Case Density

Aaron Becker, Sándor P. Fekete, Phillip Keldenich, Sebastian Morr, Christian Scheffer

## Vielen Dank!

